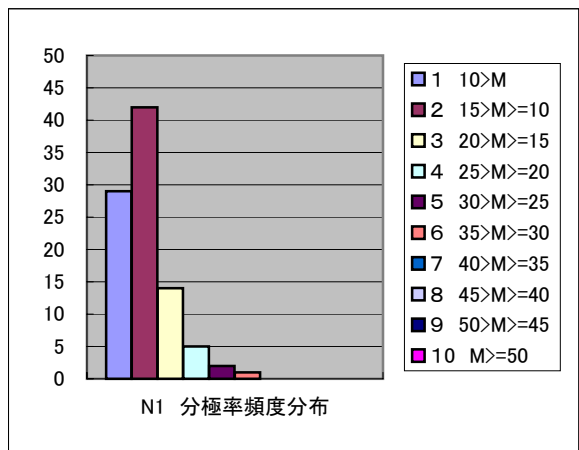
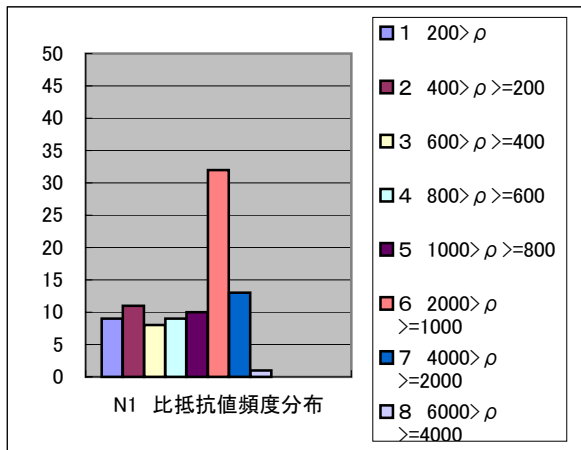
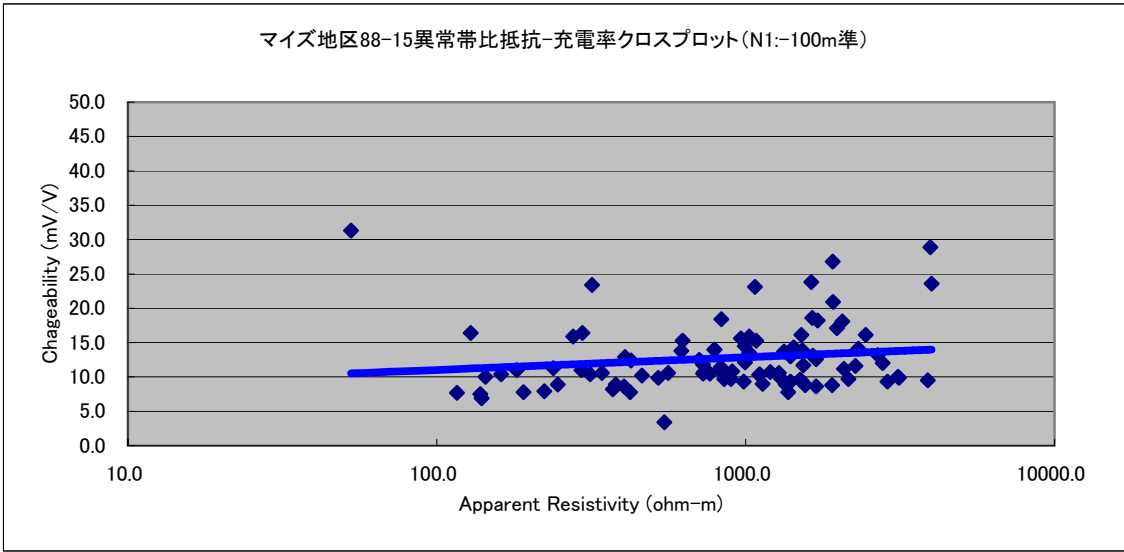


N	比抵抗値				分極率			
	最大値	最小値	平均値	標準偏差	最大値	最小値	平均値	標準偏差
N1	4004	53	1184	901.13	31	3	13	4.9

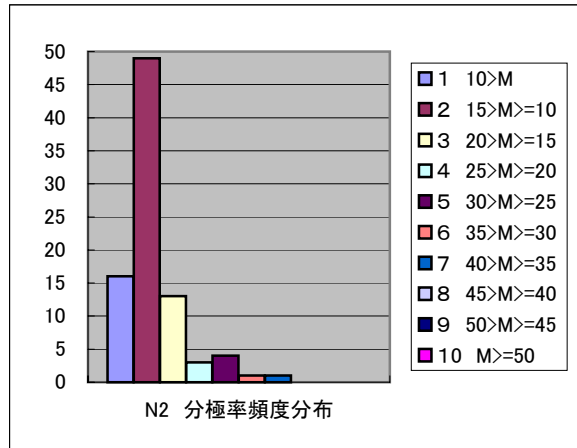
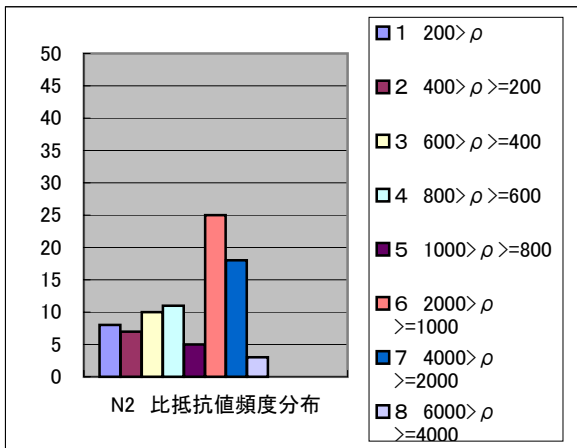
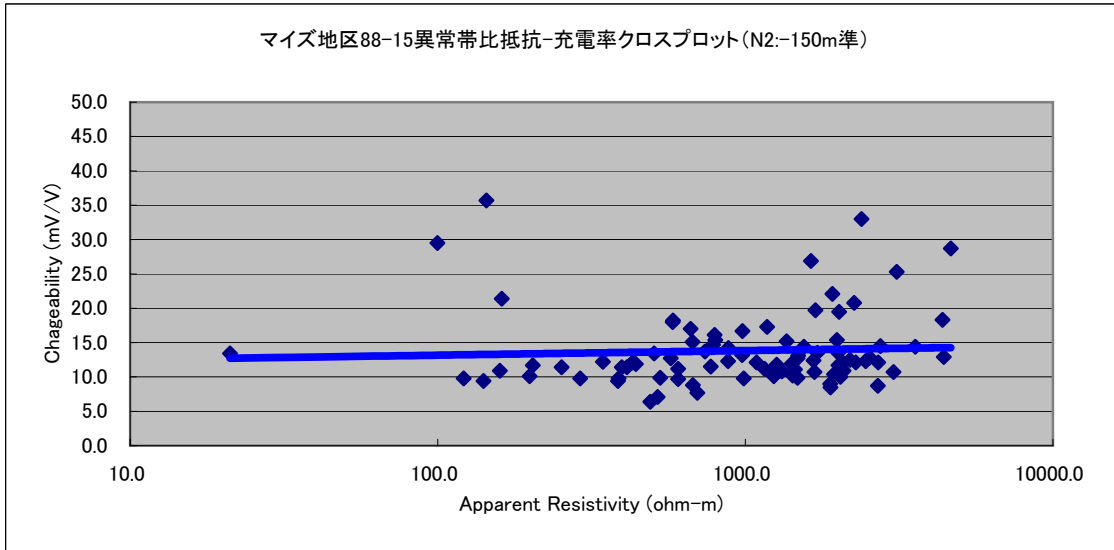


1 200>ρ	9
2 400>ρ ≥200	11
3 600>ρ ≥400	8
4 800>ρ ≥600	9
5 1000>ρ ≥800	10
6 2000>ρ ≥1000	32
7 4000>ρ ≥2000	13
8 6000>ρ ≥4000	1
9 8000>ρ ≥6000	0
10 10000>ρ ≥8000	0
11 ρ ≥10000	0
合計	93

1 10>M	29
2 15>M ≥10	42
3 20>M ≥15	14
4 25>M ≥20	5
5 30>M ≥25	2
6 35>M ≥30	1
7 40>M ≥35	0
8 45>M ≥40	0
9 50>M ≥45	0
10 M ≥50	0
合計	93

図II-2-15(1) マイズ地区88-15異常帯測定データの統計量(N1:-100m準)

N	比抵抗値				分極率			
	最大値	最小値	平均値	標準偏差	最大値	最小値	平均値	標準偏差
N2	4652	21	1341	1018.80	36	6	14	5.5

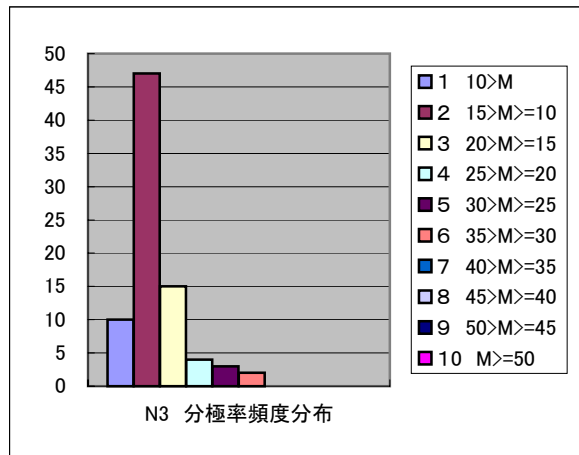
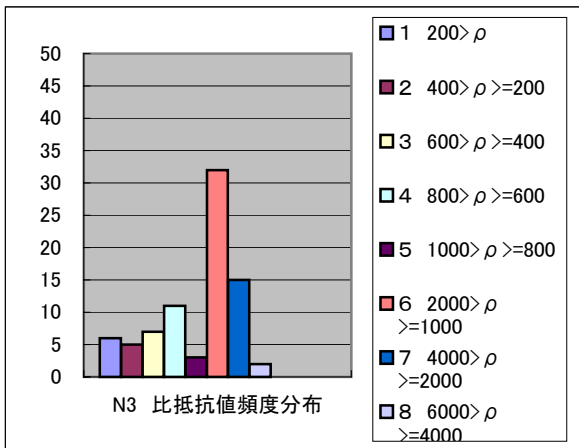
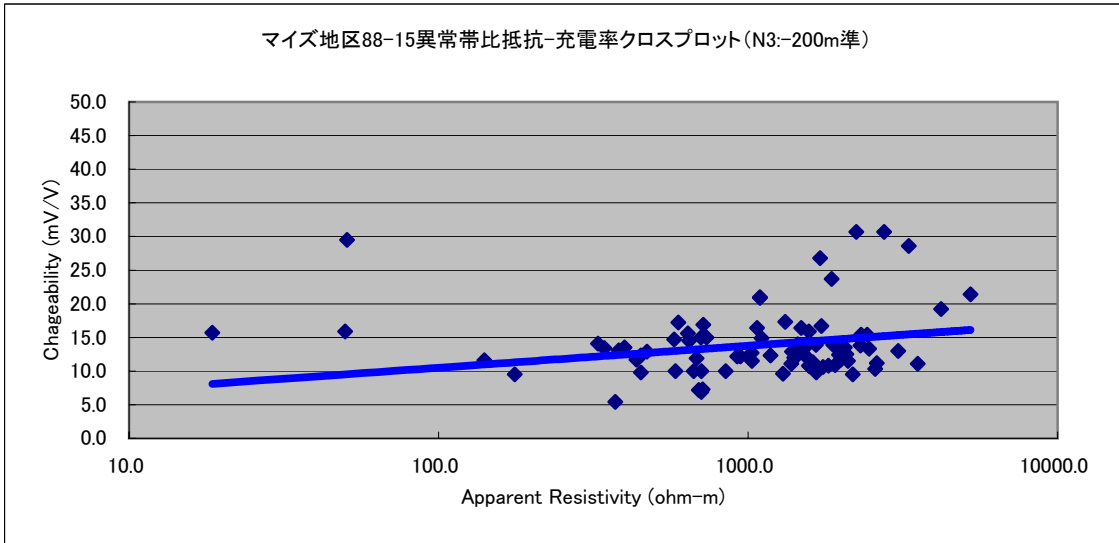


1 200 > ρ	8
2 400 > ρ >= 200	7
3 600 > ρ >= 400	10
4 800 > ρ >= 600	11
5 1000 > ρ >= 800	5
6 2000 > ρ >= 1000	25
7 4000 > ρ >= 2000	18
8 6000 > ρ >= 4000	3
9 8000 > ρ >= 6000	0
10 10000 > ρ >= 8000	0
11 ρ >= 10000	0
合計	87

1 10 > M	16
2 15 > M >= 10	49
3 20 > M >= 15	13
4 25 > M >= 20	3
5 30 > M >= 25	4
6 35 > M >= 30	1
7 40 > M >= 35	1
8 45 > M >= 40	0
9 50 > M >= 45	0
10 M >= 50	0
合計	87

図II-2-15(2) マイズ地区88-15異常帯測定データの統計量 (N2:-150m準)

N	比抵抗値				分極率			
	最大値	最小値	平均値	標準偏差	最大値	最小値	平均値	標準偏差
N3	5234	19	1379	969.62	31	-15	14	6.0

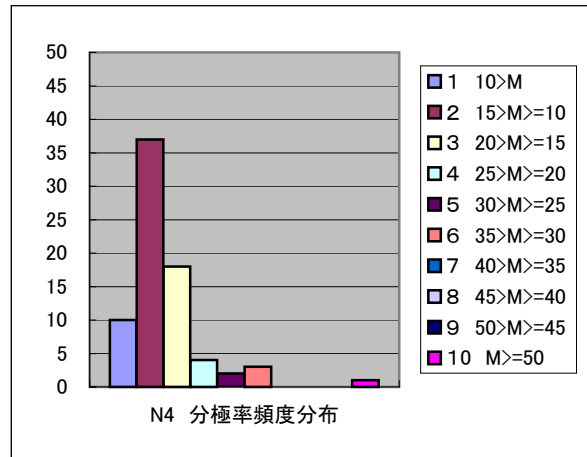
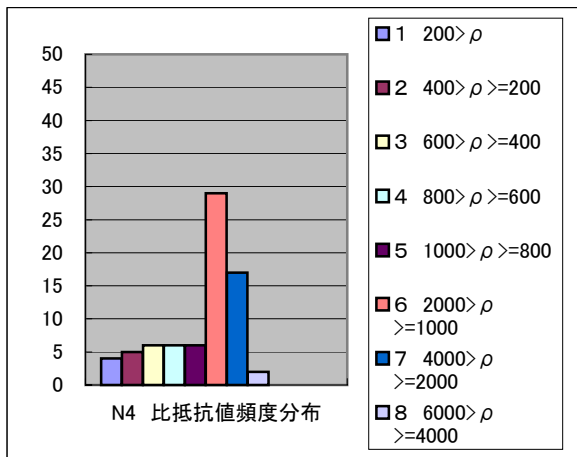
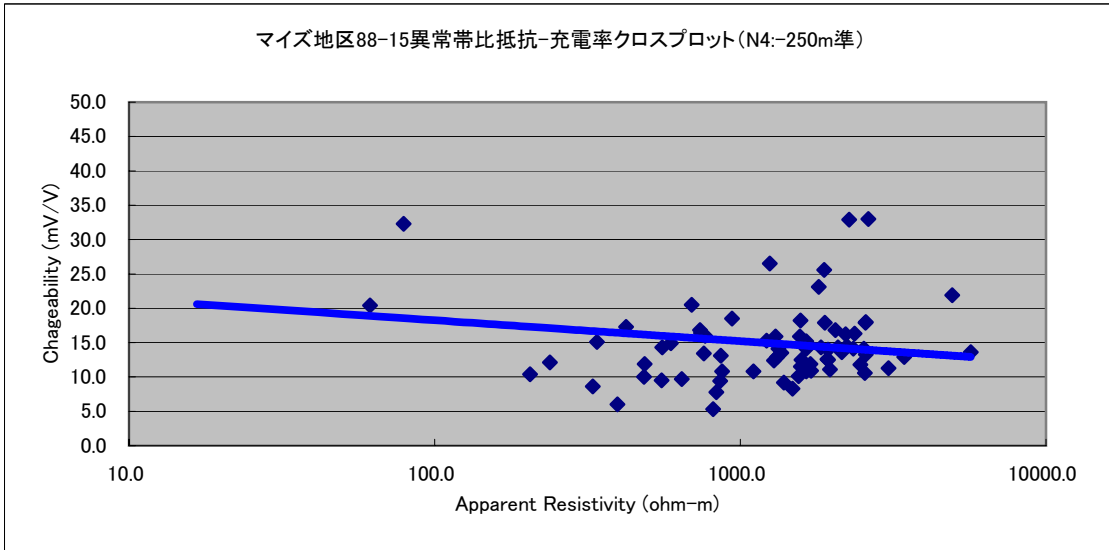


N3 比抵抗値頻度分布		
1	200 > ρ	6
2	400 > ρ >= 200	5
3	600 > ρ >= 400	7
4	800 > ρ >= 600	11
5	1000 > ρ >= 800	3
6	2000 > ρ >= 1000	32
7	4000 > ρ >= 2000	15
8	6000 > ρ >= 4000	2
9	8000 > ρ >= 6000	0
10	10000 > ρ >= 8000	0
11	ρ >= 10000	0
合計		81

N3 分極率頻度分布		
1	10 > M	10
2	15 > M >= 10	47
3	20 > M >= 15	15
4	25 > M >= 20	4
5	30 > M >= 25	3
6	35 > M >= 30	2
7	40 > M >= 35	0
8	45 > M >= 40	0
9	50 > M >= 45	0
10	M >= 50	0
合計		81

図II-2-15(3) マイズ地区88-15異常帯測定データの統計量 (N3:-200m準)

N	比抵抗値				分極率			
	最大値	最小値	平均値	標準偏差	最大値	最小値	平均値	標準偏差
N4	5674	17	1507	1018.95	67	-7	15	8.4



1 200 > ρ	4
2 400 > ρ ≥ 200	5
3 600 > ρ ≥ 400	6
4 800 > ρ ≥ 600	6
5 1000 > ρ ≥ 800	6
6 2000 > ρ ≥ 1000	29
7 4000 > ρ ≥ 2000	17
8 6000 > ρ ≥ 4000	2
9 8000 > ρ ≥ 6000	0
10 10000 > ρ ≥ 8000	0
11 ρ ≥ 10000	0
合計	75

1 10 > M	10
2 15 > M ≥ 10	37
3 20 > M ≥ 15	18
4 25 > M ≥ 20	4
5 30 > M ≥ 25	2
6 35 > M ≥ 30	3
7 40 > M ≥ 35	0
8 45 > M ≥ 40	0
9 50 > M ≥ 45	0
10 M ≥ 50	1
合計	75

図II-2-15(4) マイズ地区88-15異常帯測定データの統計量 (N4:-250m準)

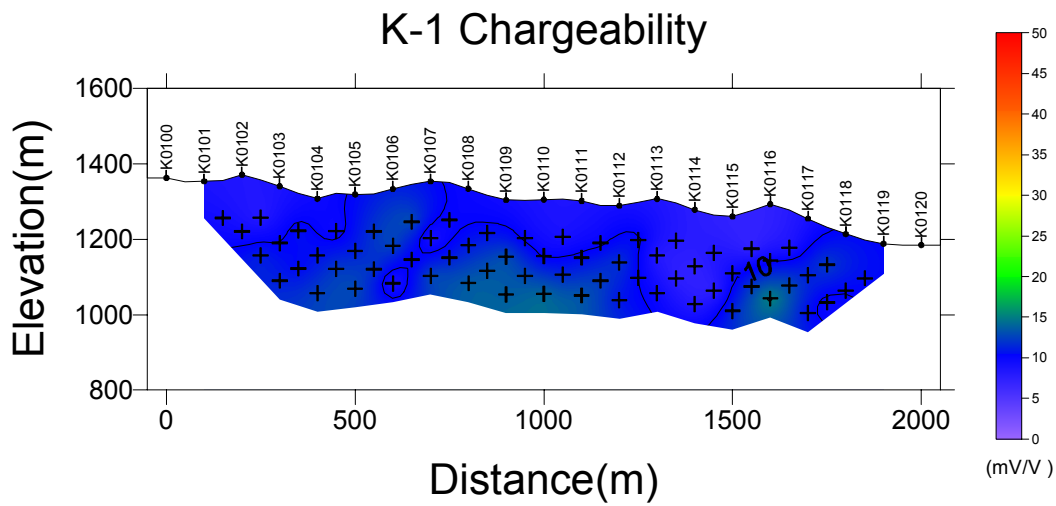
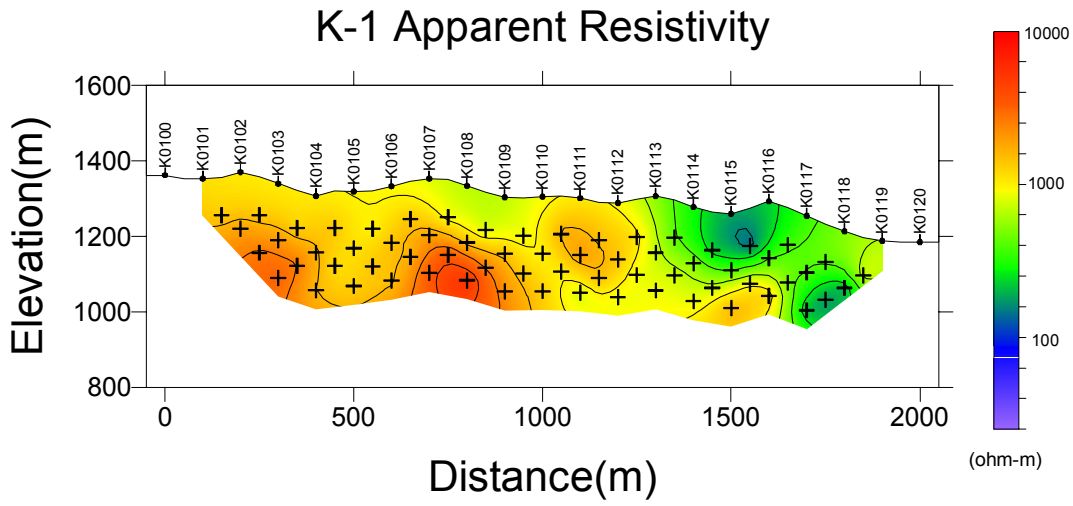


図 11-2-16(1) マイズ地区 88-15 異常帯見掛充電率および見掛比抵抗擬似断面図 (K-1)

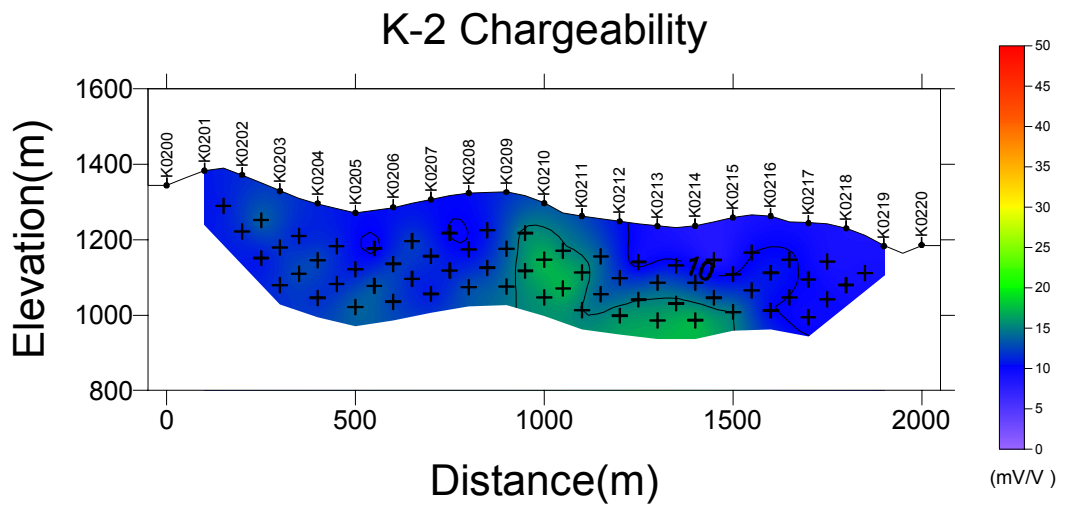
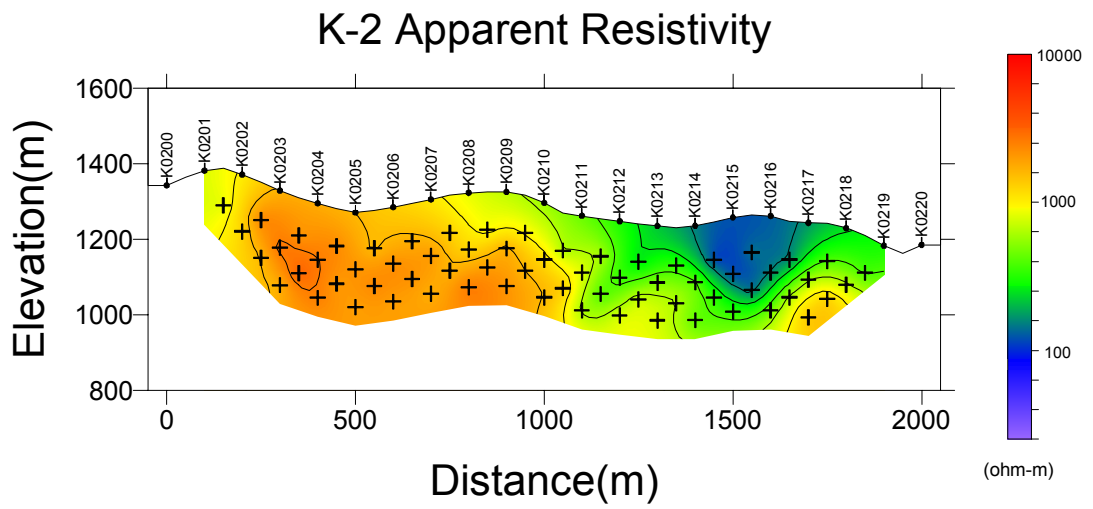


図 11-2-16(2) マイズ地区 88-15 異常帯見掛充電率および見掛比抵抗擬似断面図 (K-2)

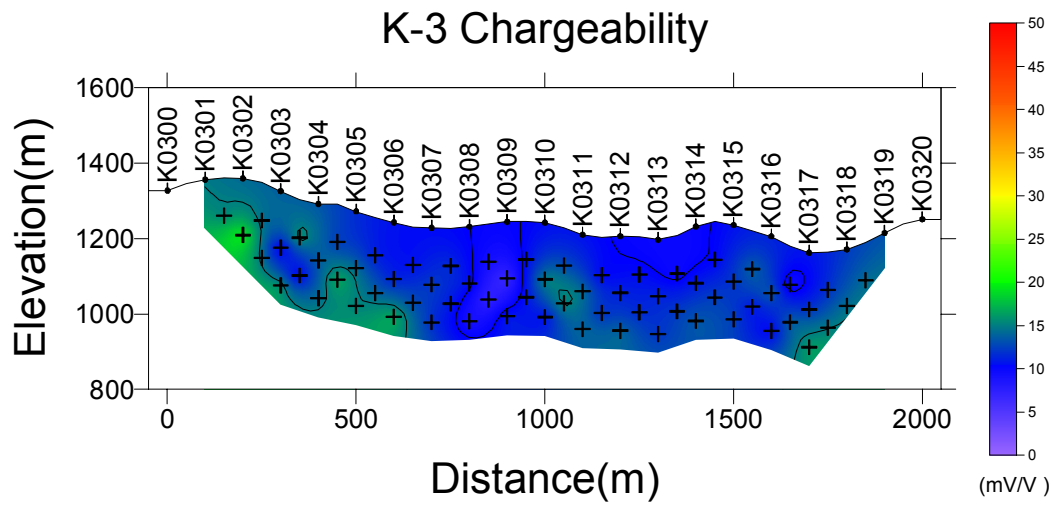
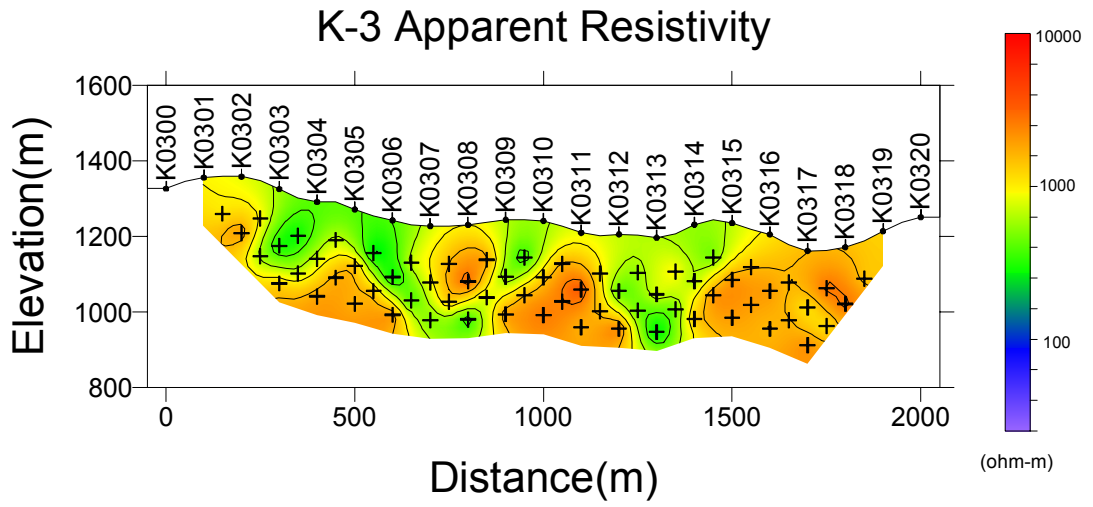


図 11-2-16(3) マイズ地区 88-15 異常帯見掛充電率および見掛比抵抗擬似断面図 (K-3)

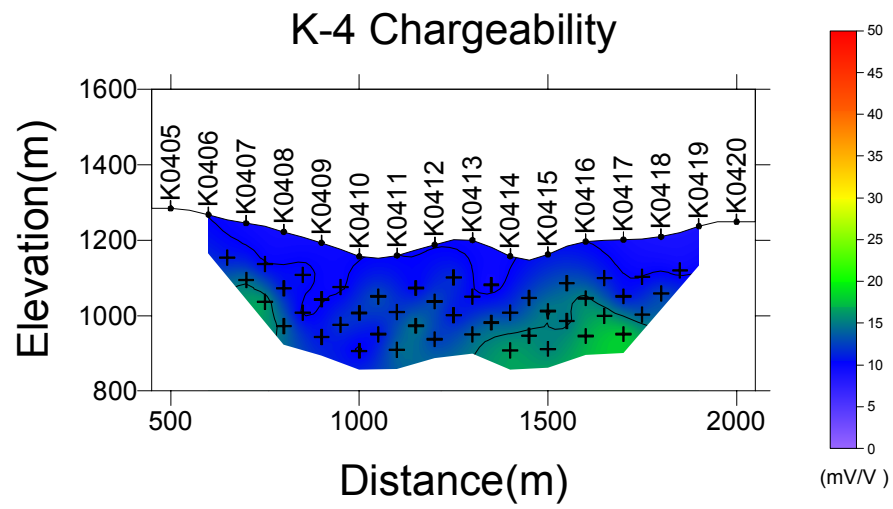
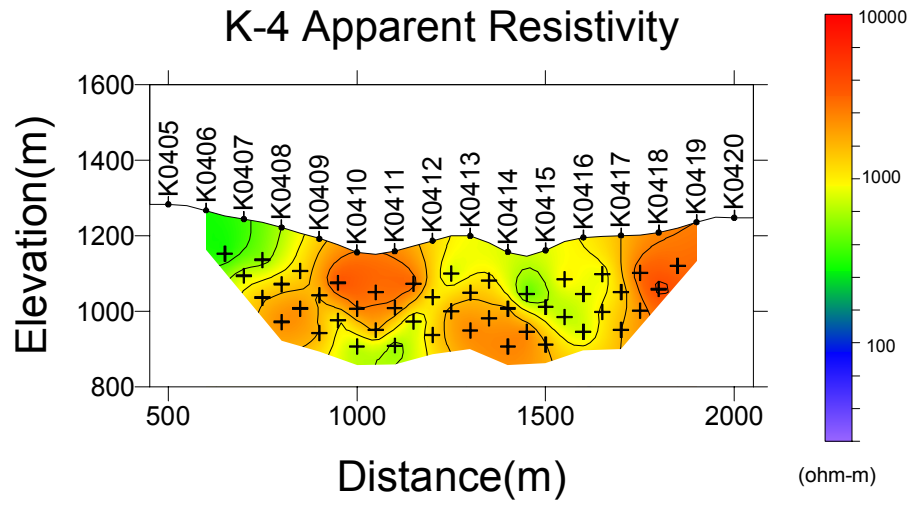


図 11-2-16(4) マイズ地区 88-15 異常帯見掛充電率および見掛比抵抗擬似断面図 (K-4)

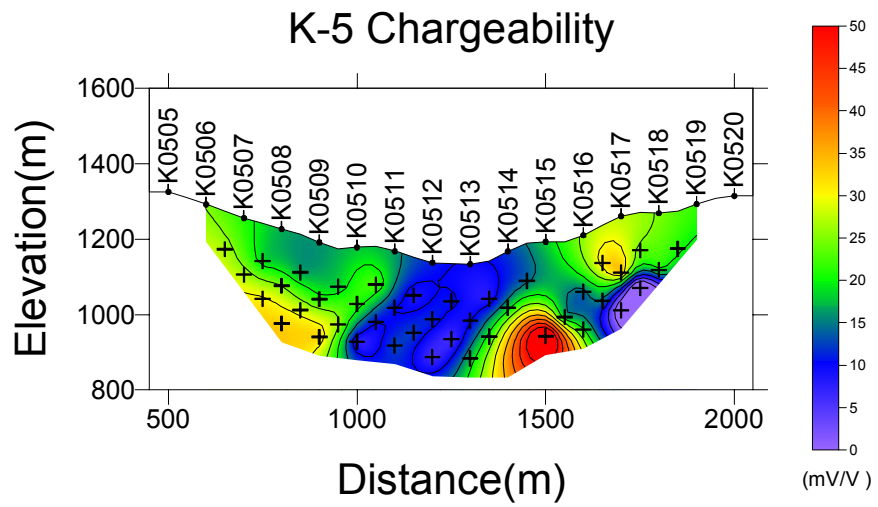
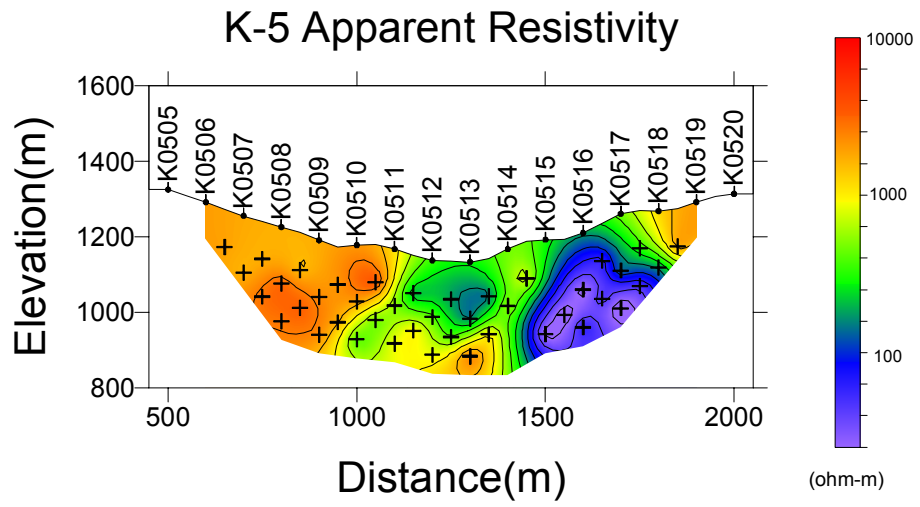


図 11-2-16(5) マイズ地区 88-15 異常帯見掛充電率および見掛比抵抗擬似断面図 (K-5)

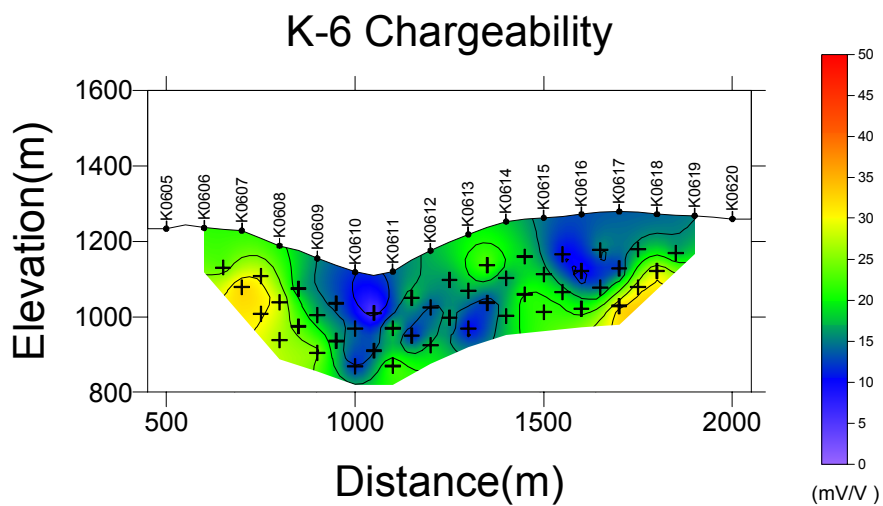
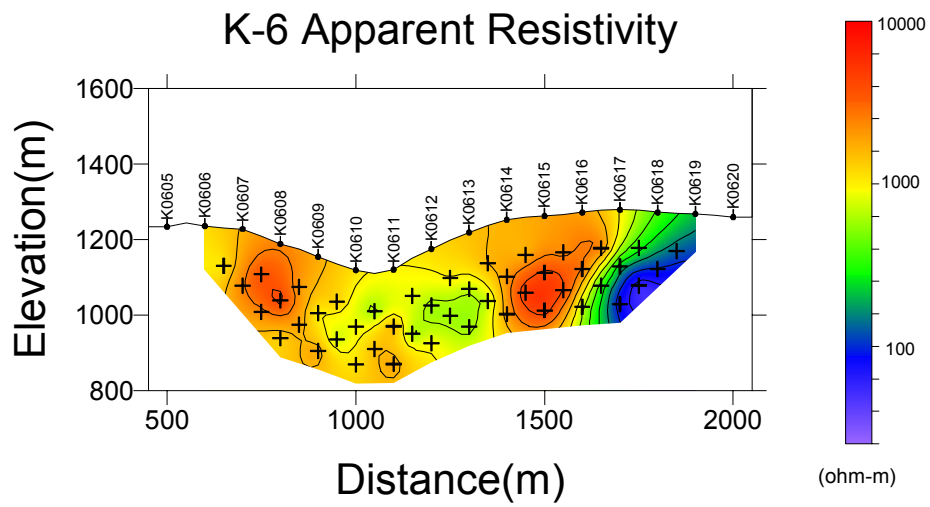


図 11-2-16(6) マイズ地区 88-15 異常帯見掛充電率および見掛比抵抗擬似断面図 (K-6)

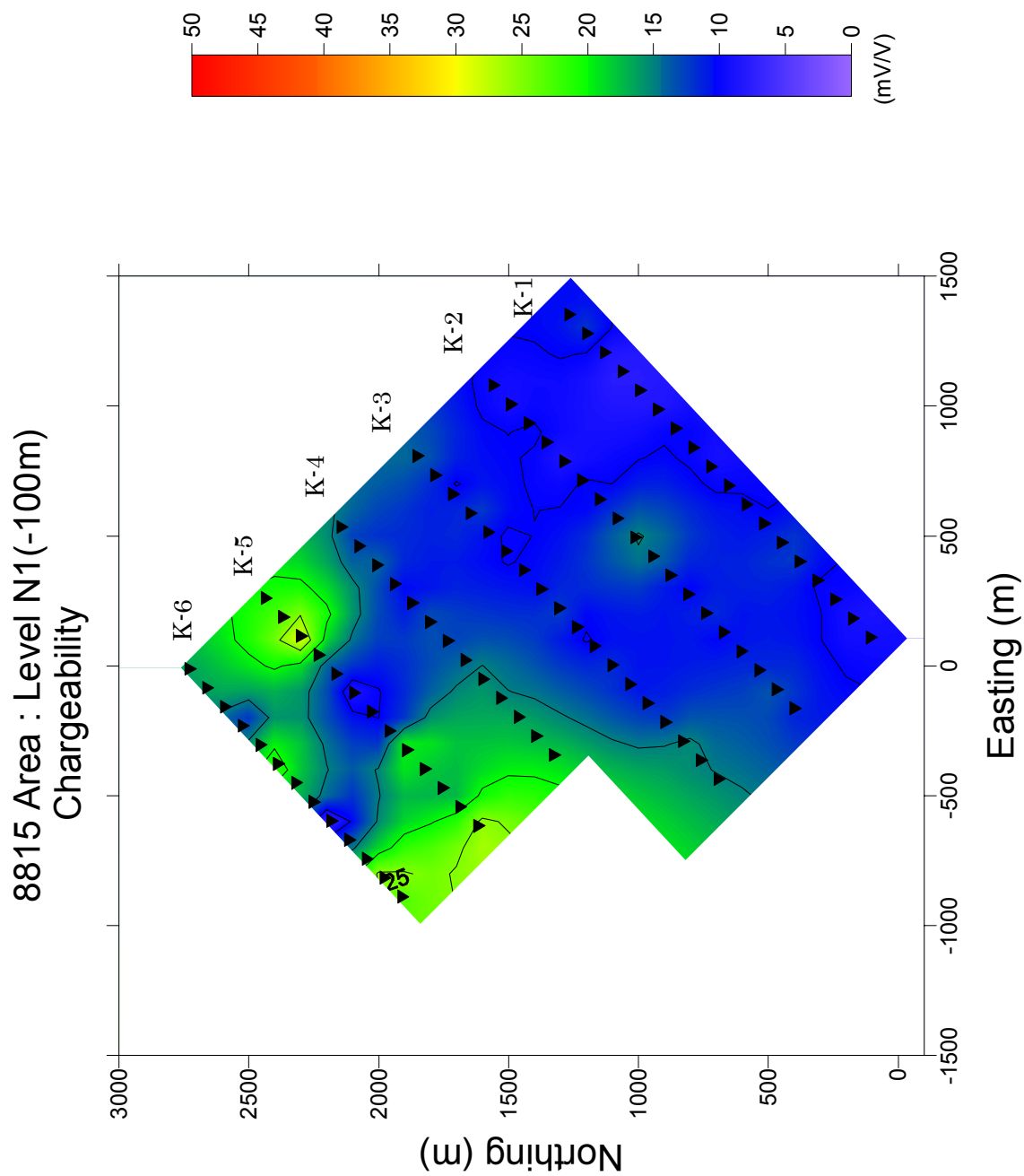


図 11-2-17(1) マイズ地区 88-15 異常帯見掛充電率平面図 (n=1)

8815 Area : Level N2 (-150m)
Chargeability

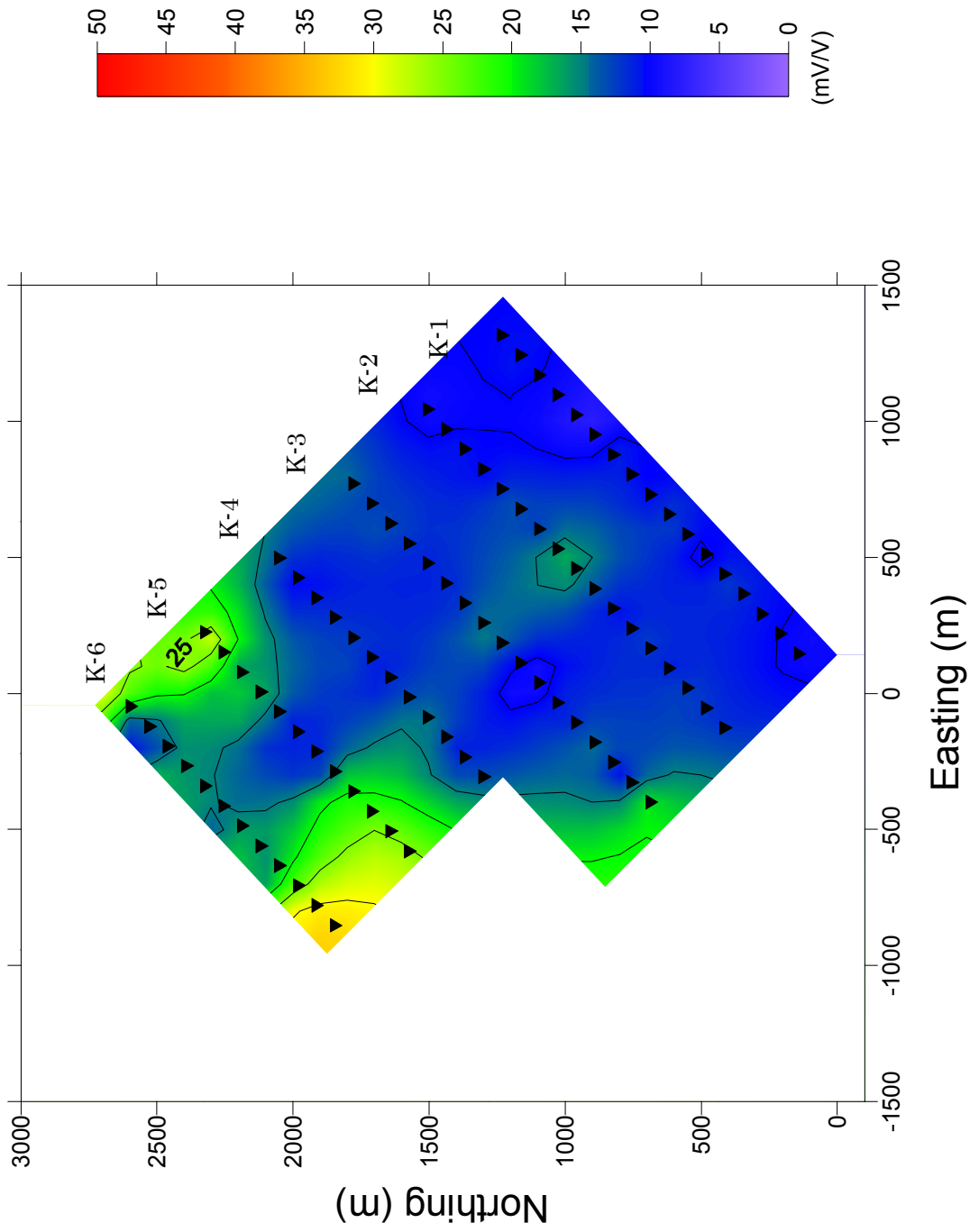


図 11-2-17(2) マイズ地区 88-15 異常帯見掛充電率平面図 (n=2)

8815 Area : Level N3 (-200m)
Chargeability

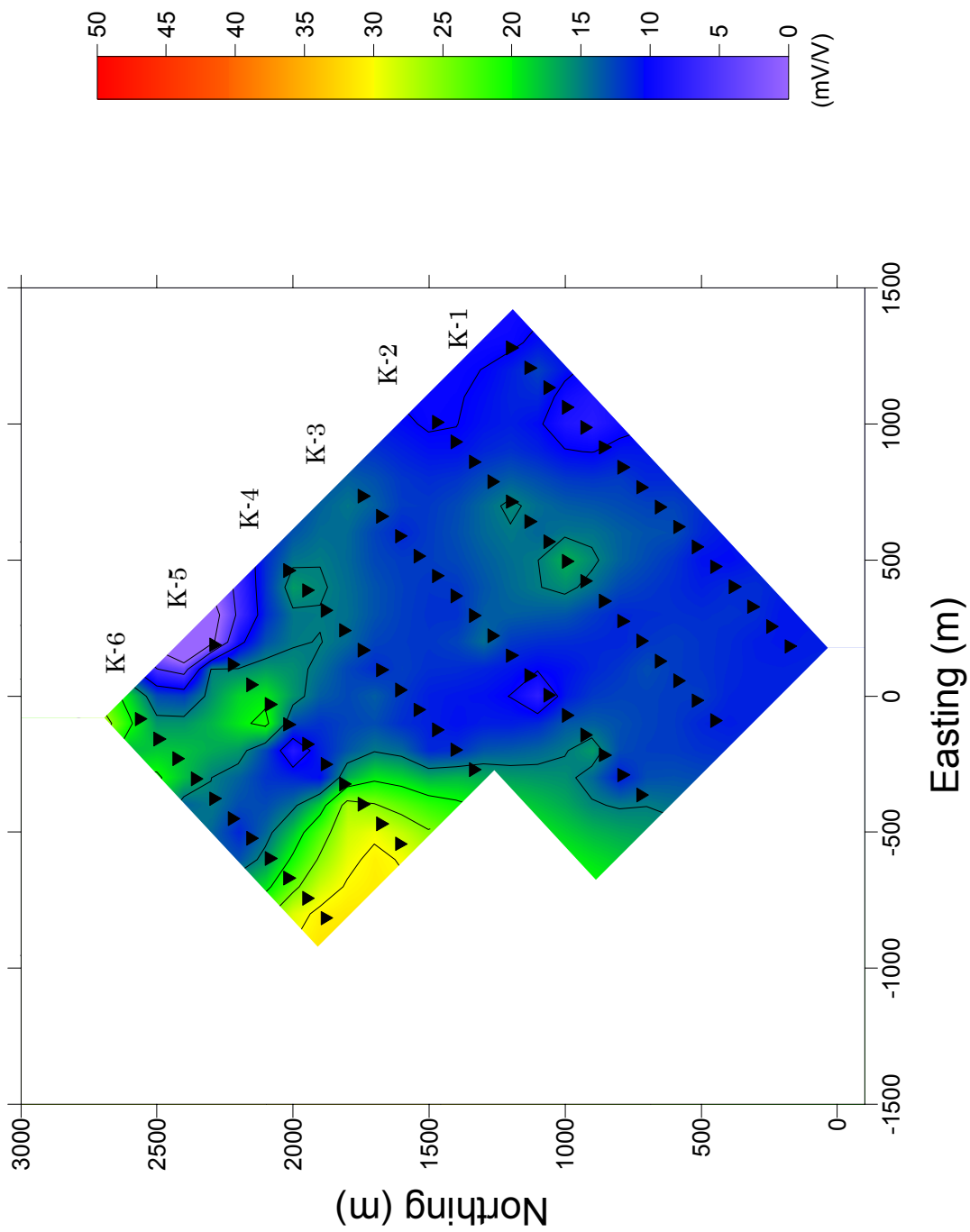


図 11-2-17(3) マイズ地区 88-15 異常帯見掛充電率平面図 (n=3)

8815 Area : Level N4 (-250m)
Chargeability

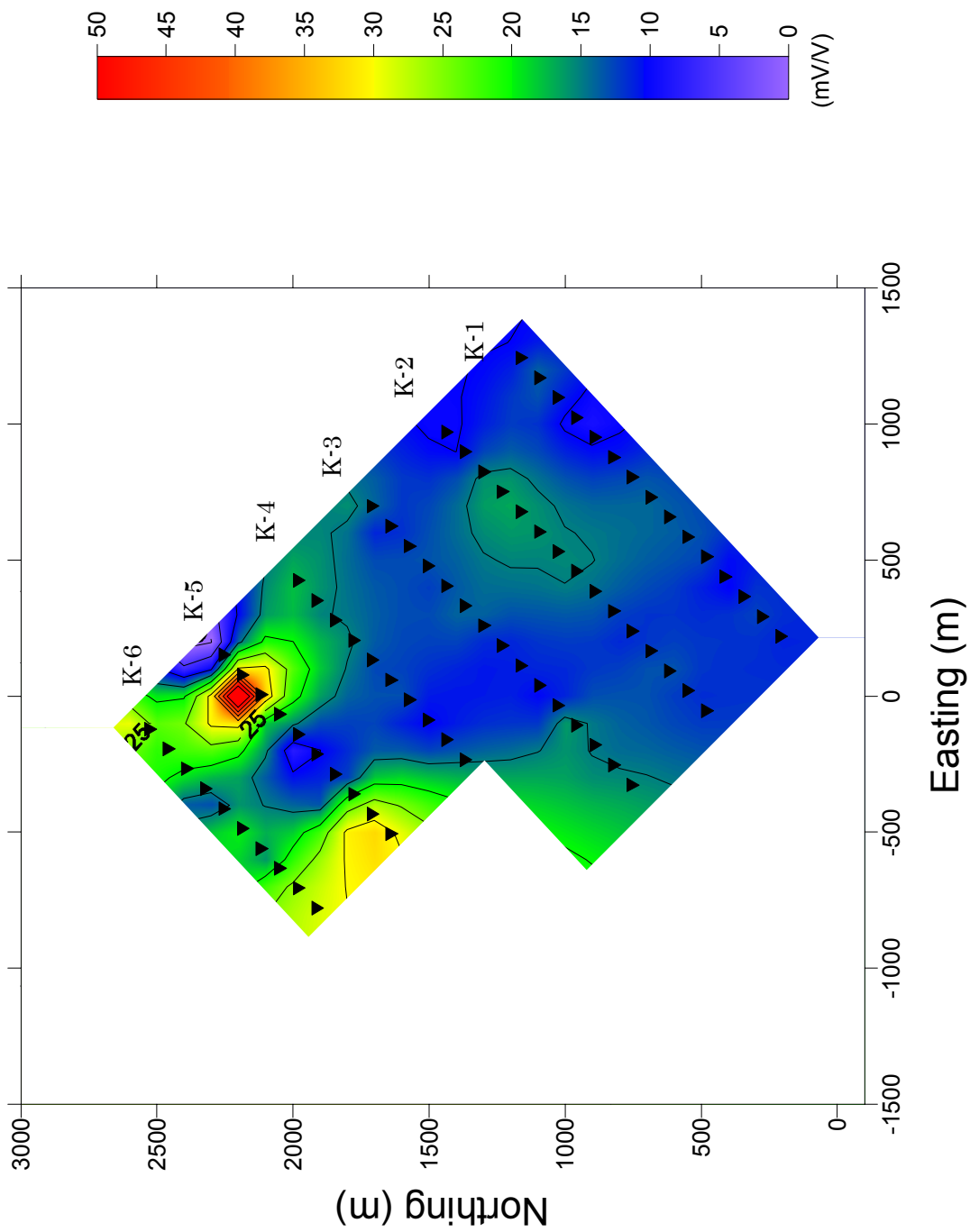


図 11-2-17(4) マイズ地区 88-15 異常帯見掛充電率平面図 (n=4)

8815 Area : Level N1(-100m)
Apparent Resistivity

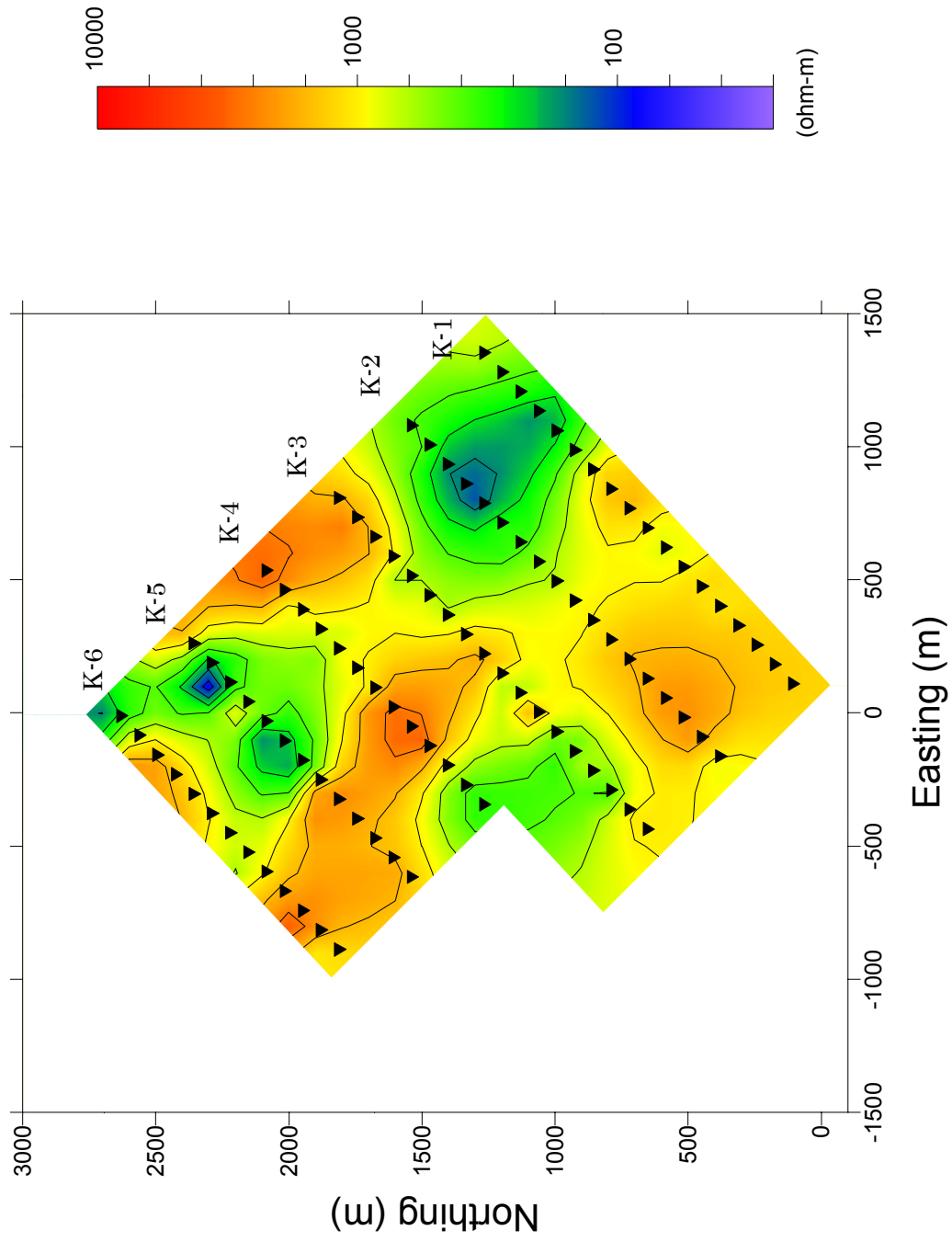


図 11-2-18(1) マイズ地区 88-15 異常帯見掛比抵抗平面図 (n=1)

8815 Area : Level N2 (-150m)
Apparent Resistivity

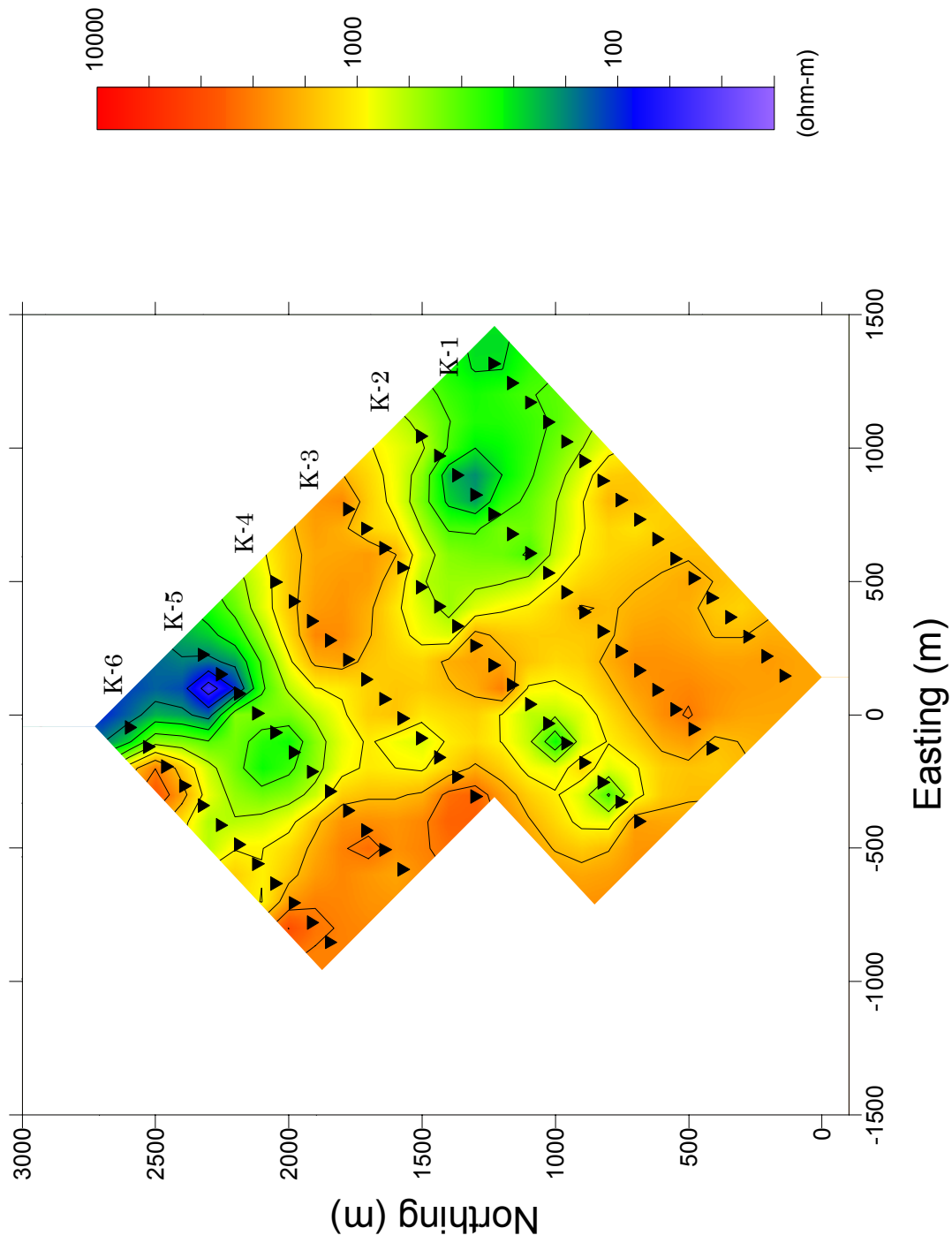


図 11-2-18 (2) マイズ地区 88-15 異常帯見掛比抵抗平面図 (n=2)

8815 Area : Level N3 (-200m)
Apparent Resistivity

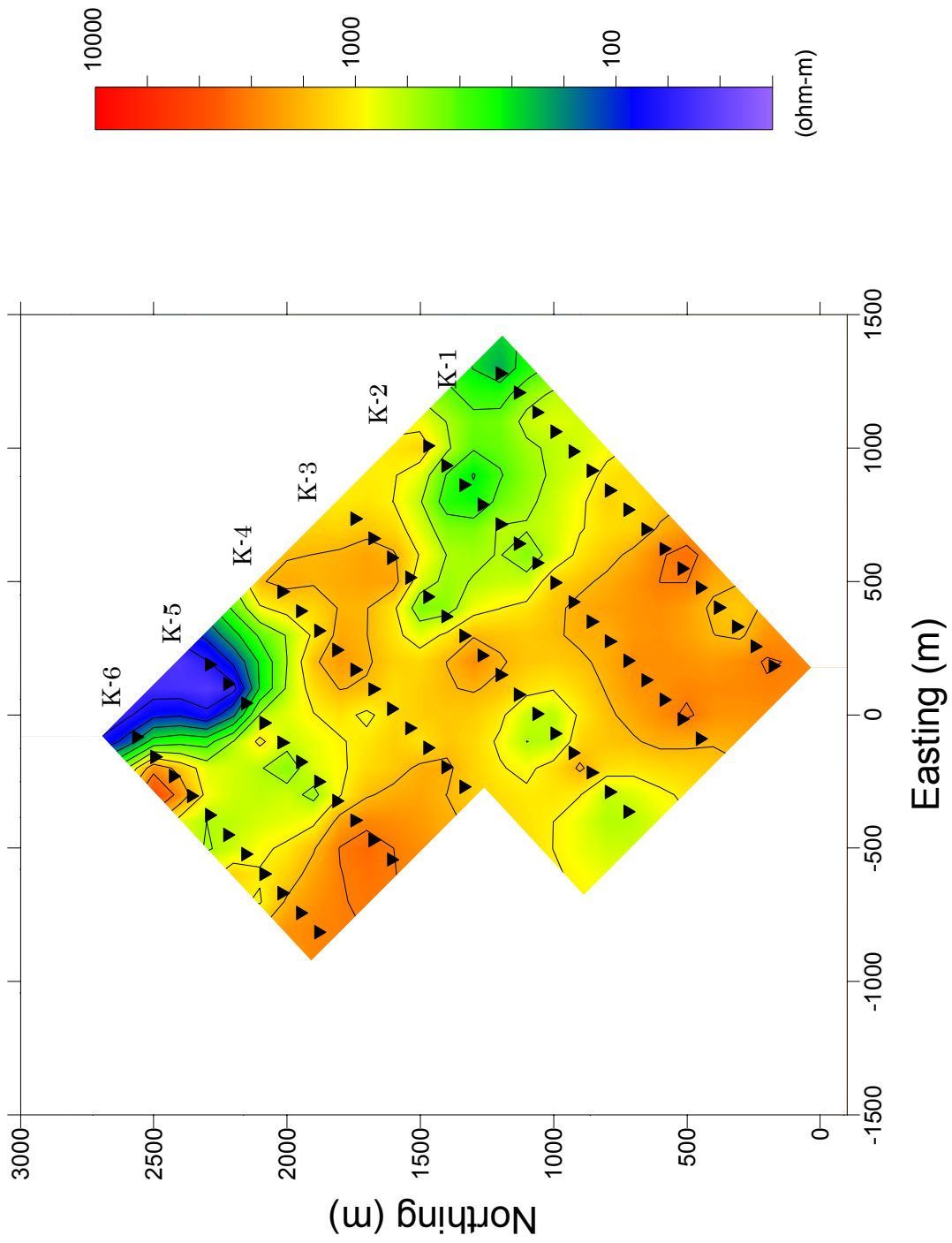


図 11-2-18 (3) マイズ地区 88-15 異常帯見掛比抵抗平面図 (n=3)

8815 Area : Level N4 (-250m)
Apparent Resistivity

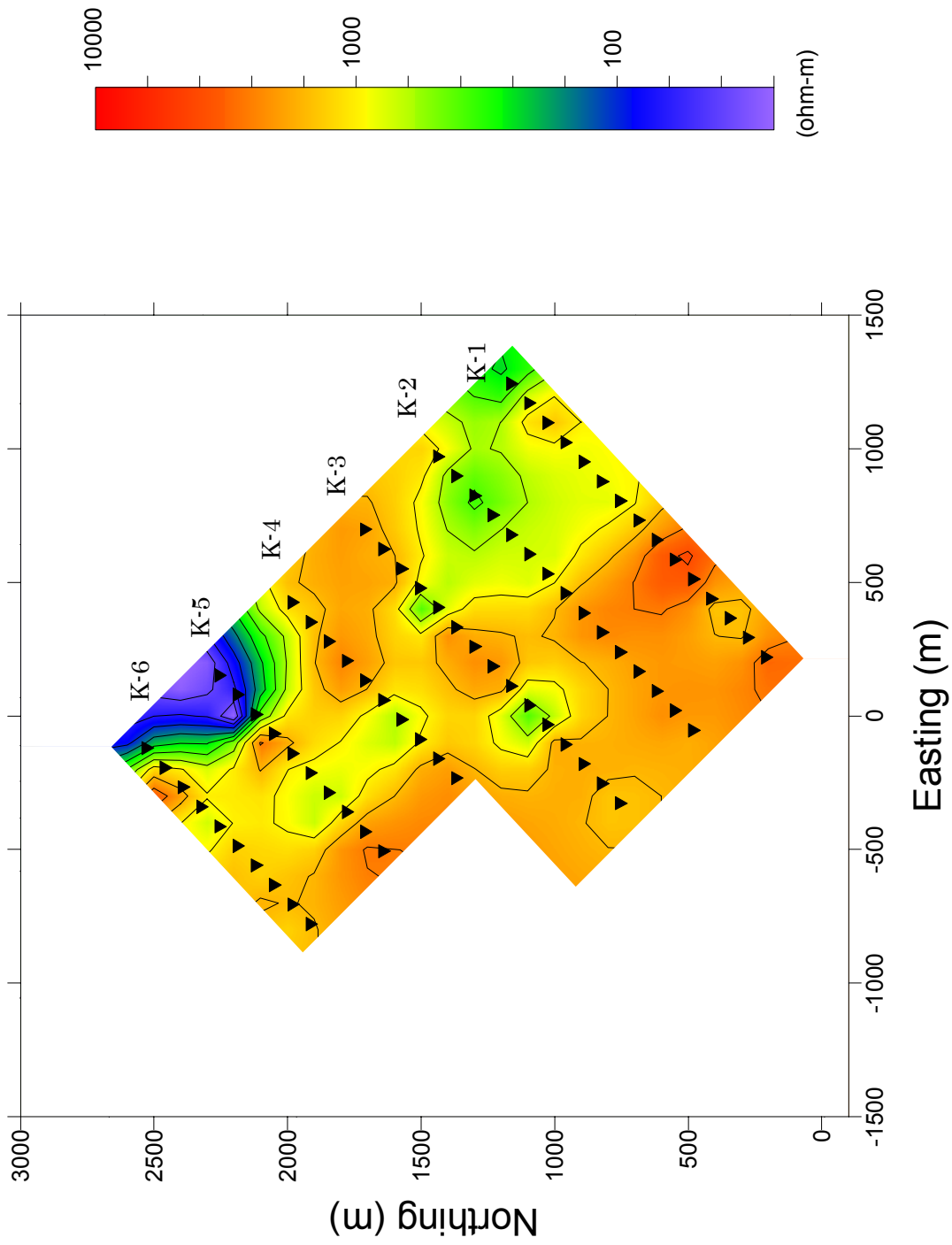
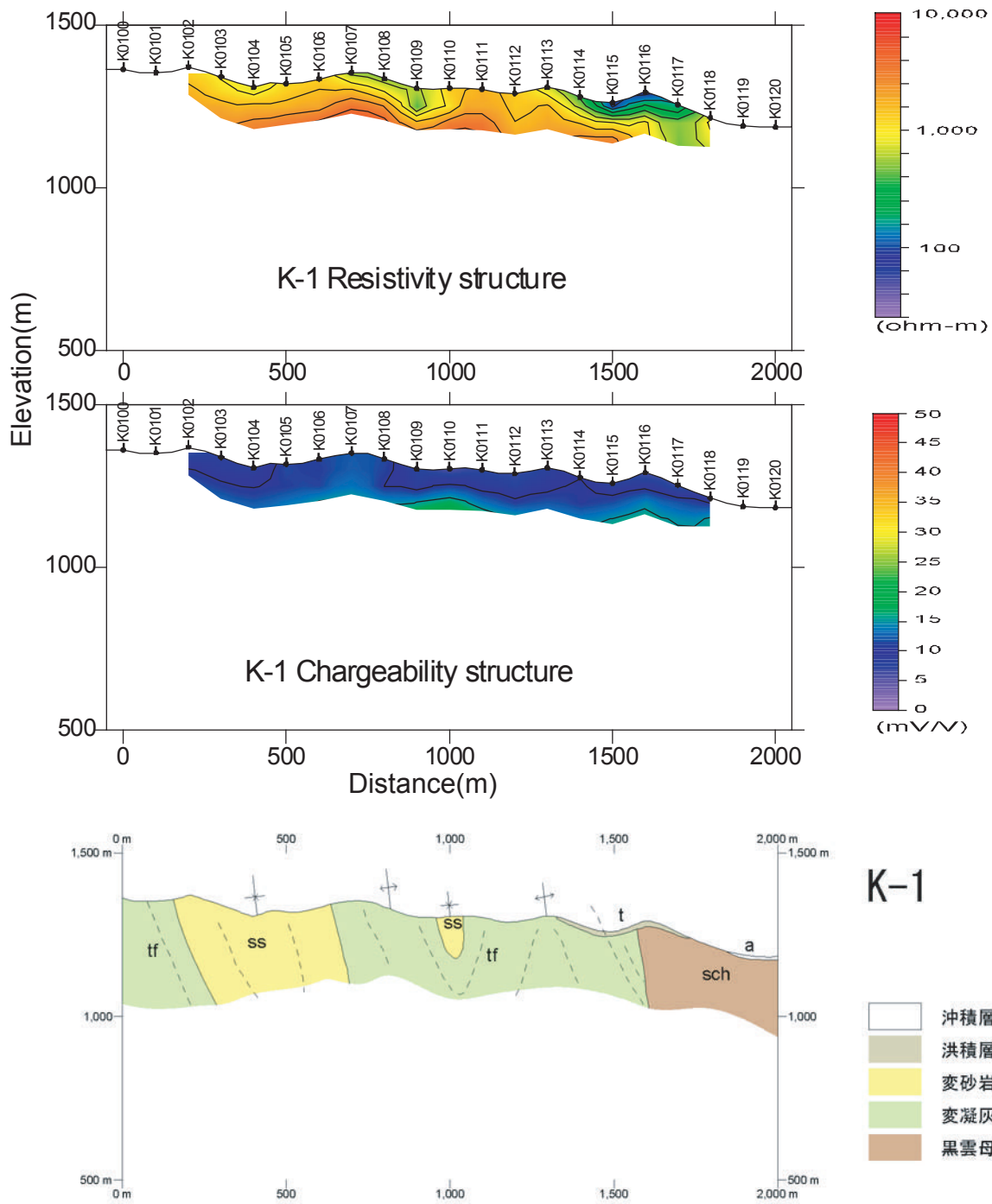
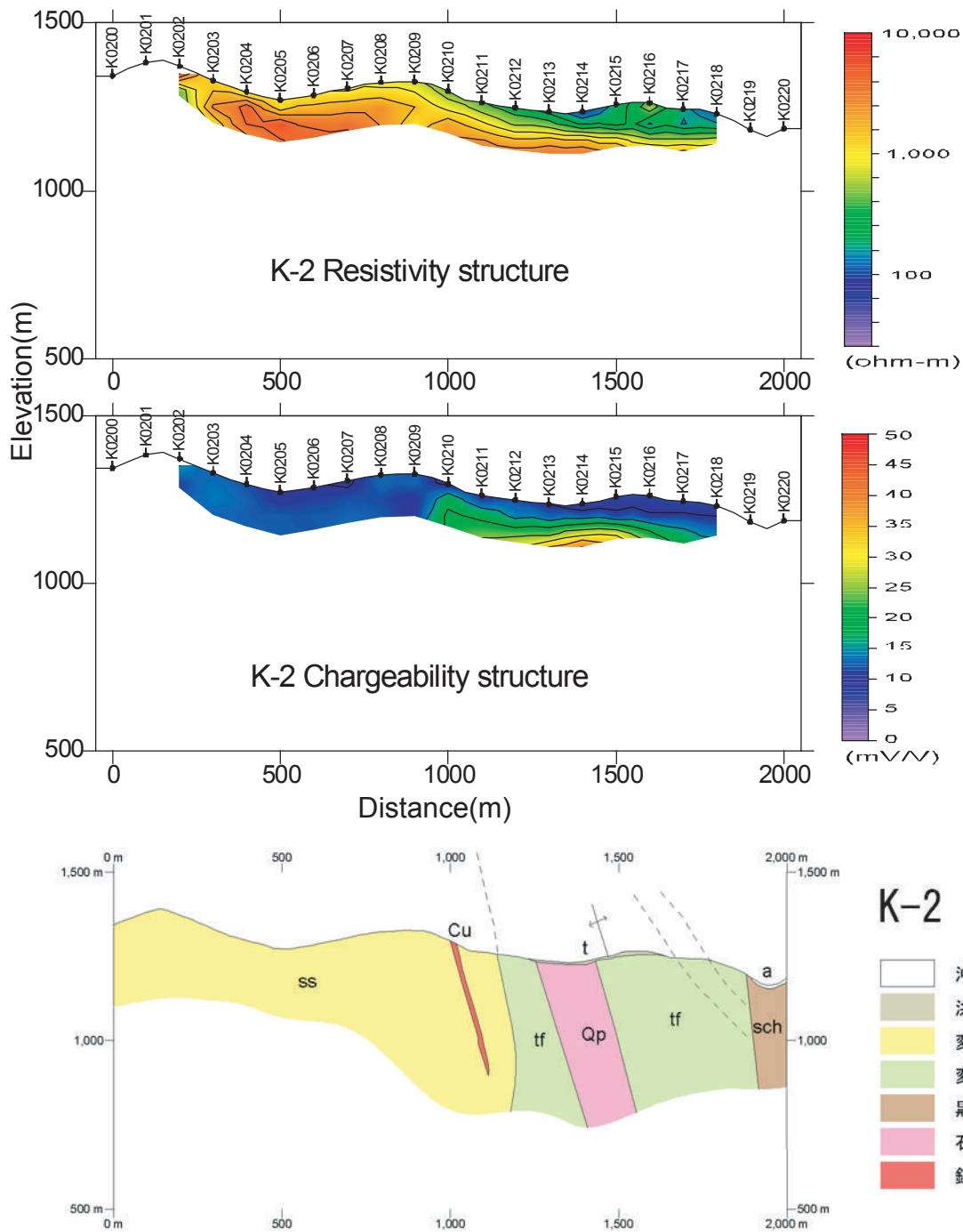


図 11-2-18(4) マイズ地区 88-15 異常帯見掛比抵抗平面図 (n=4)



図Ⅱ-2-19(1) マイズ地区88-15異常帯充電率・比抵抗インバージョン結果及び地質断面図 (K-1)



図Ⅱ-2-19(2) マイズ地区88-15異常帯充電率・比抵抗インバージョン結果及び地質断面図 (K-2)

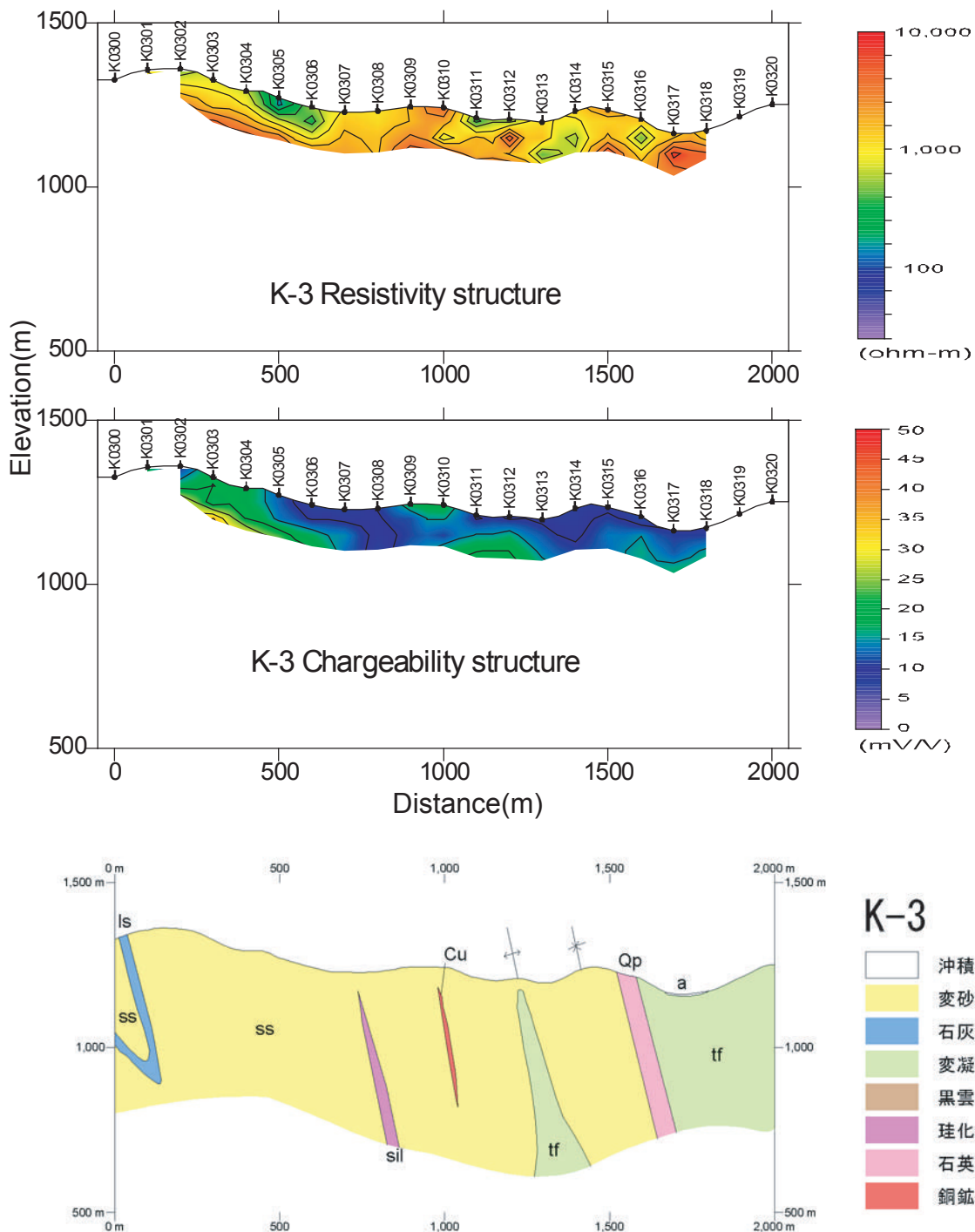


図 II-2-19(3) マイズ地区88-15異常帯充電率・比抵抗インバージョン結果及び地質断面図 (K-3)

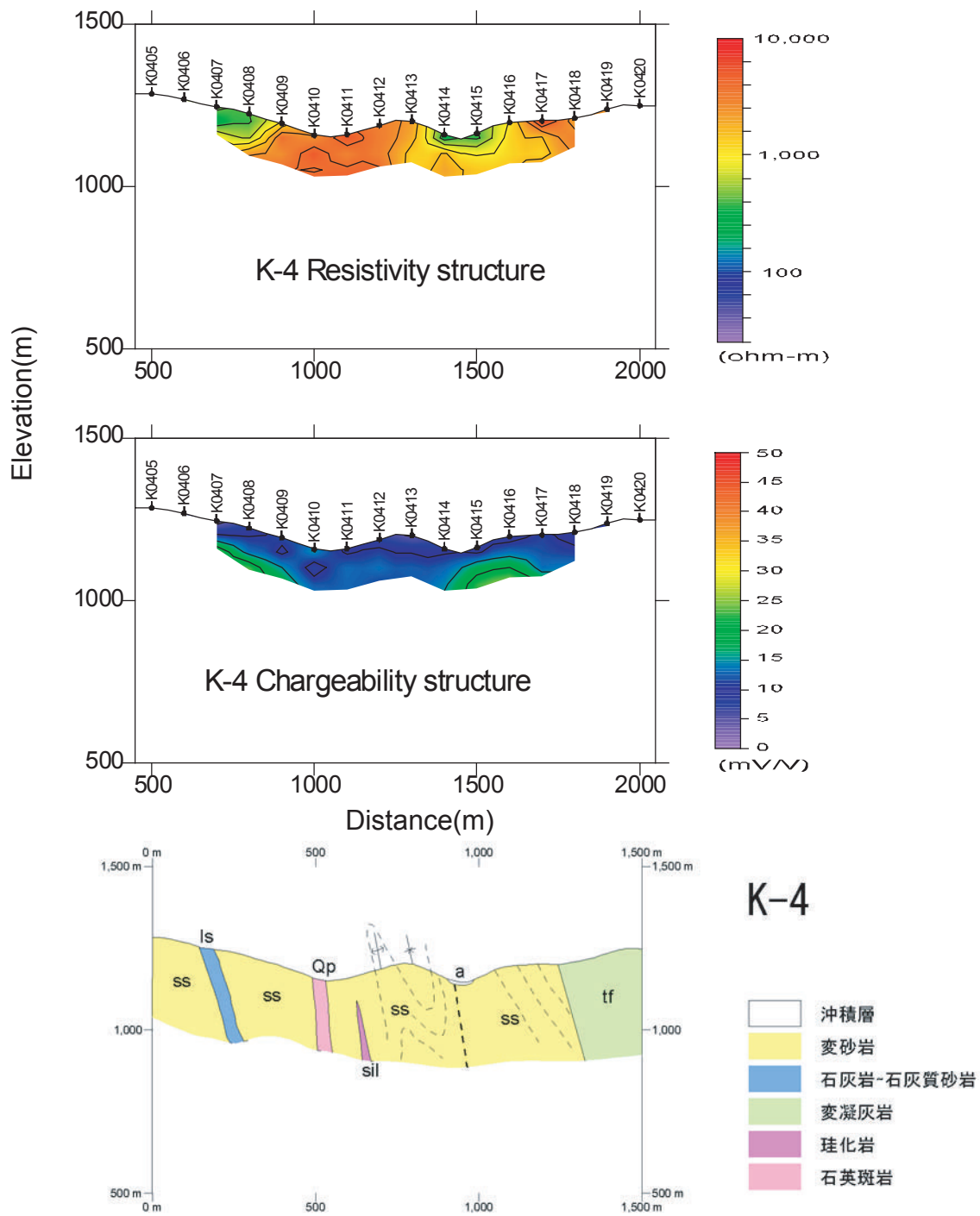


図 II-2-19(4) マイズ地区88-15異常帯充電率・比抵抗インバージョン結果及び地質断面図 (K-4)

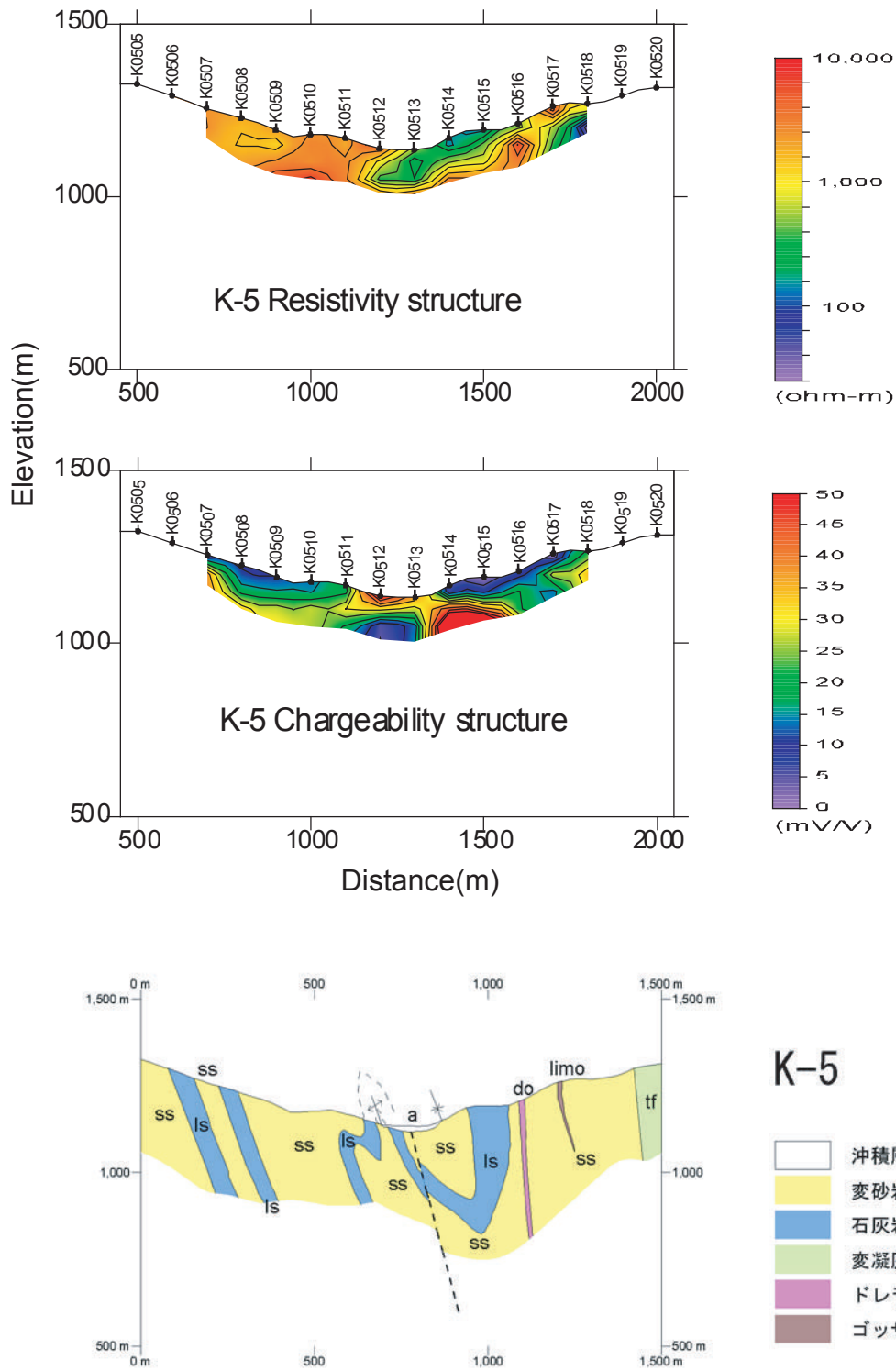
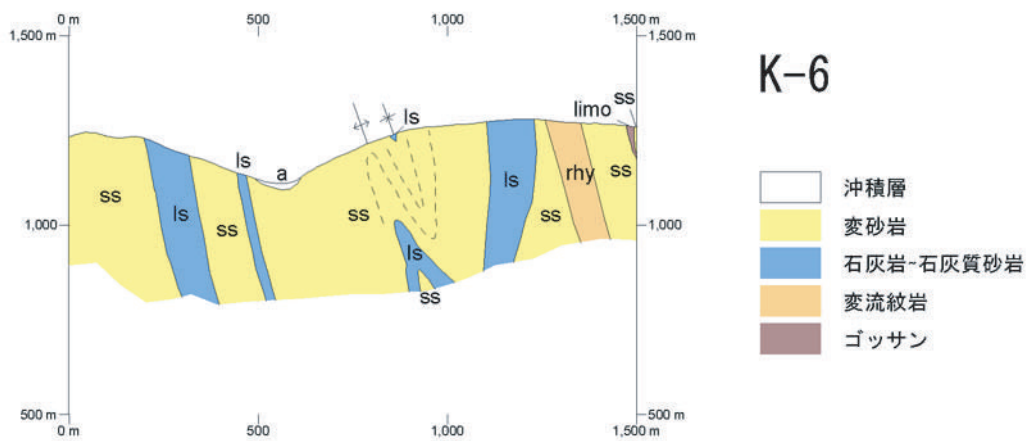
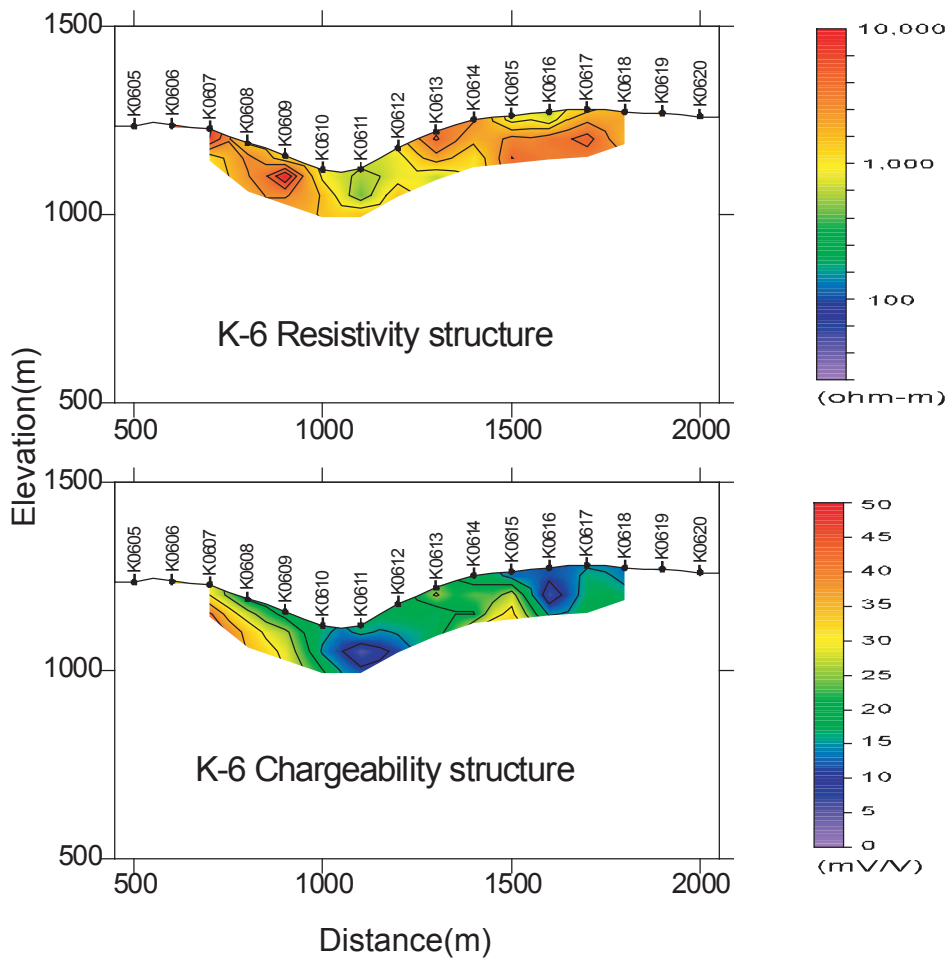


図 II -2-19 (5) マイズ地区88-15異常帯充電率・比抵抗インバージョン結果及び地質断面図 (K-5)



図Ⅱ-2-19(6) マイズ地区88-15異常帯充電率・比抵抗インバージョン結果及び地質断面図 (K-6)

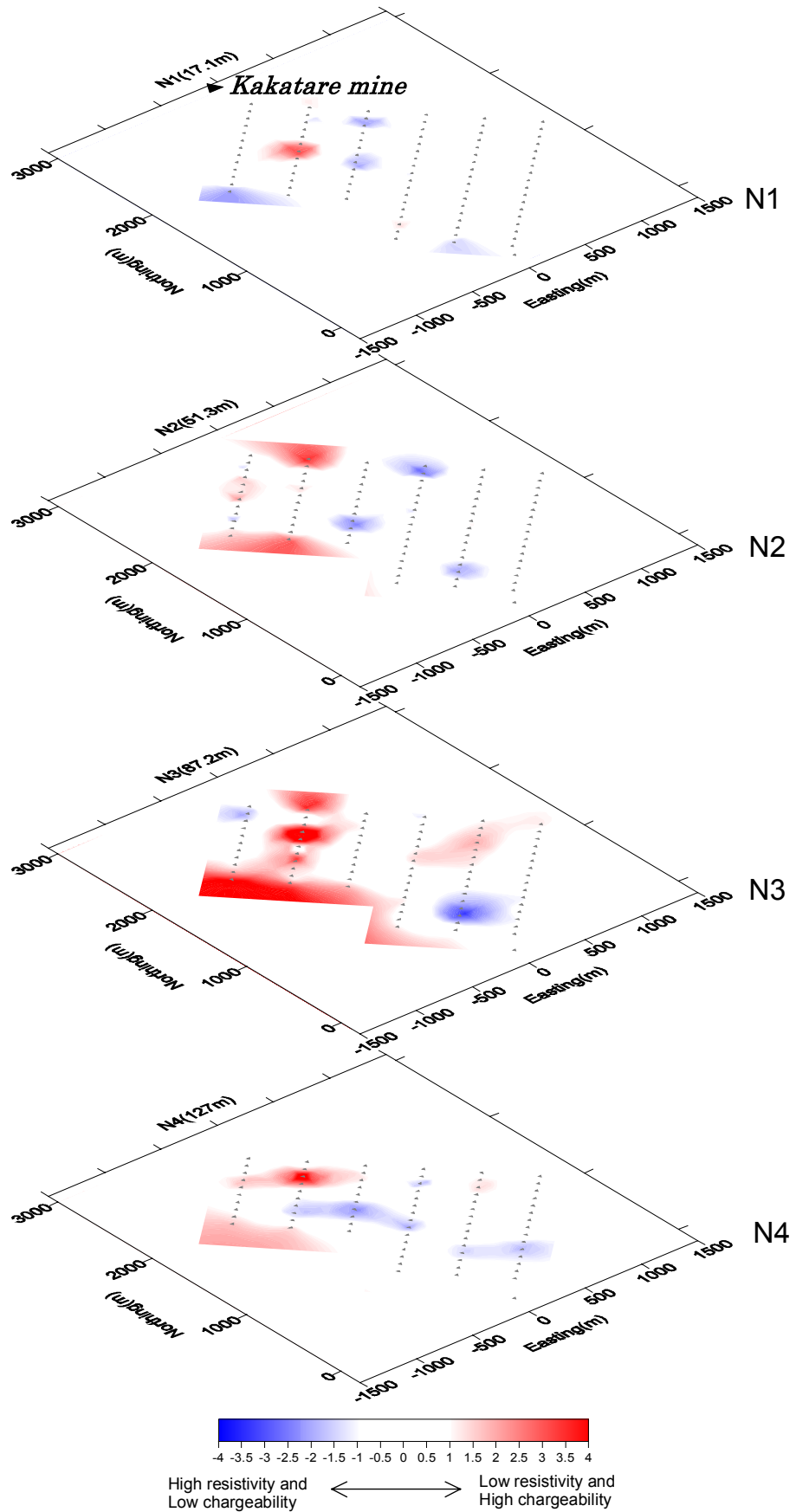


図 11-2-20 マイズ地区 88-15 異常帯充電率異常・推定比抵抗構造図

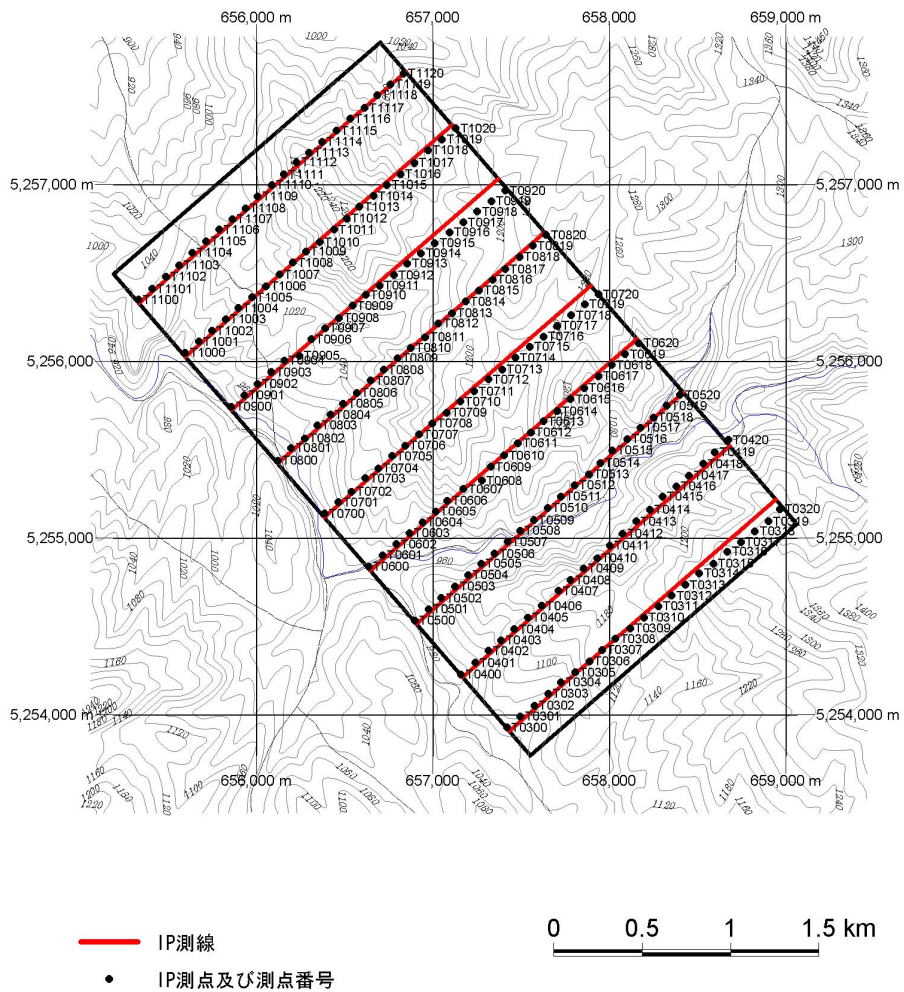
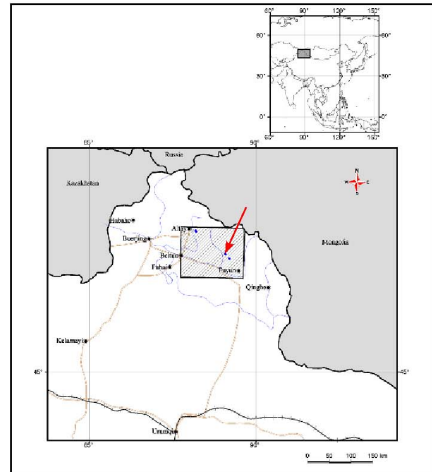
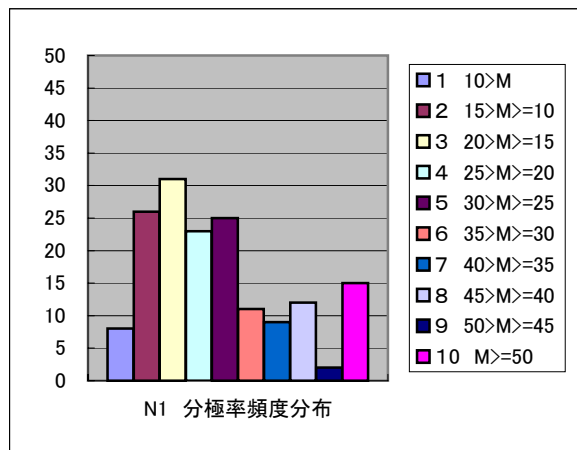
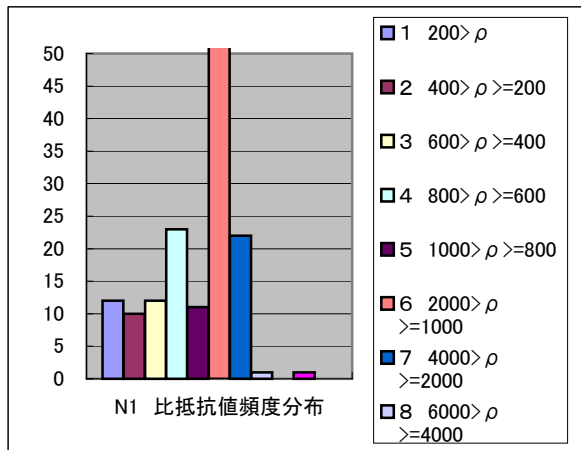
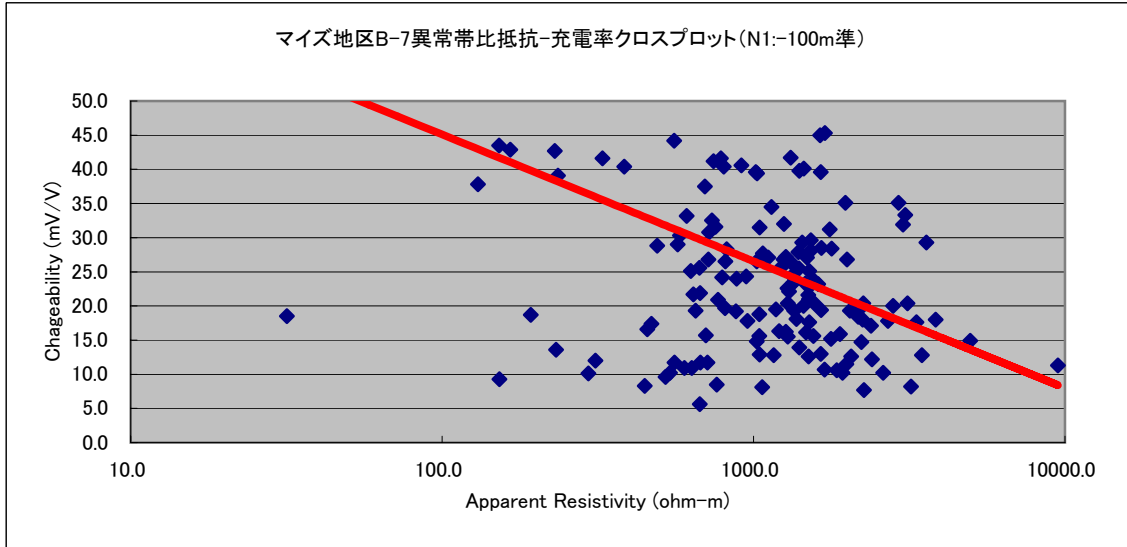


図 II-2-21 マイズ地区 B-7異常帯 IP 測線位置図

N	比抵抗値				分極率			
	最大値	最小値	平均値	標準偏差	最大値	最小値	平均値	標準偏差
N1	9488	17	1301	1064.12	121	6	27	16.1

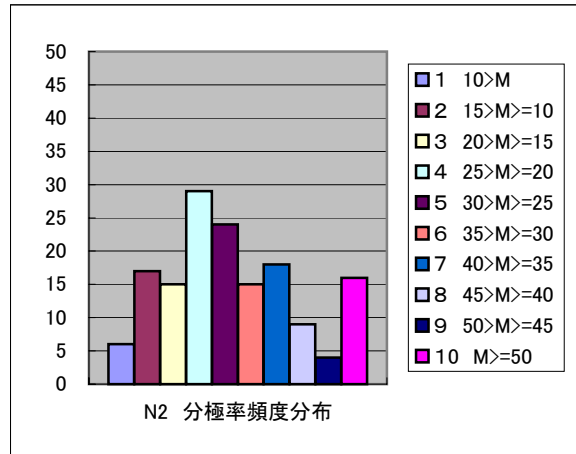
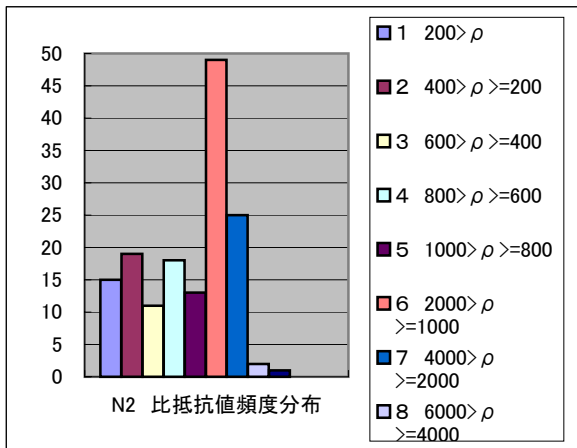
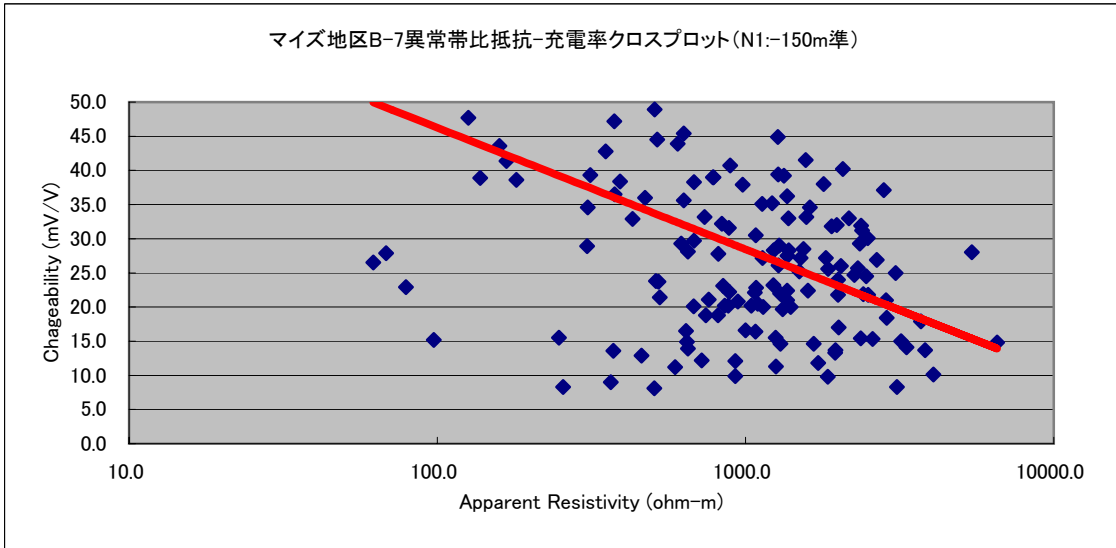


N1 比抵抗値頻度分布	
1 200>ρ	12
2 400>ρ>=200	10
3 600>ρ>=400	12
4 800>ρ>=600	23
5 1000>ρ>=800	11
6 2000>ρ>=1000	70
7 4000>ρ>=2000	22
8 6000>ρ>=4000	1
9 8000>ρ>=6000	0
10 10000>ρ>=8000	1
11 ρ>=10000	0
合計	162

N1 分極率頻度分布	
1 10>M	8
2 15>M>=10	26
3 20>M>=15	31
4 25>M>=20	23
5 30>M>=25	25
6 35>M>=30	11
7 40>M>=35	9
8 45>M>=40	12
9 50>M>=45	2
10 M>=50	15
合計	162

図II-2-22(1) マイズ地区B-7異常帯測定データの統計量(N1:-100m準)

N	比抵抗値				分極率			
	最大値	最小値	平均値	標準偏差	最大値	最小値	平均値	標準偏差
N2	6552	62	1240	1037.59	101	8	30	15.3

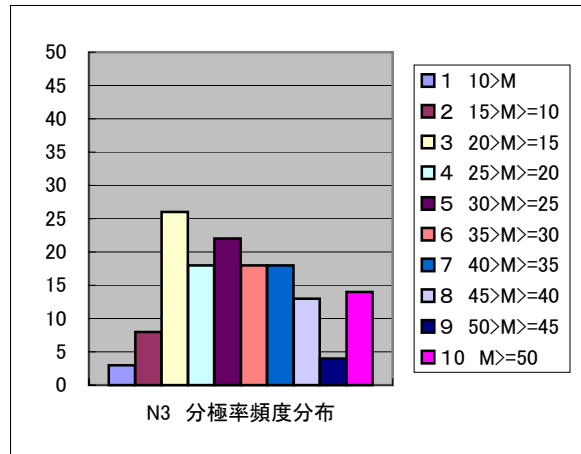
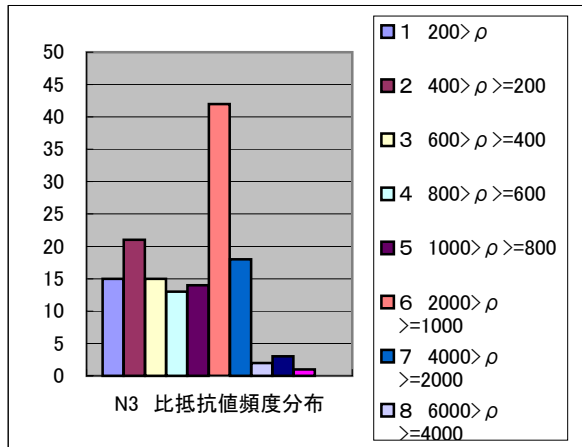
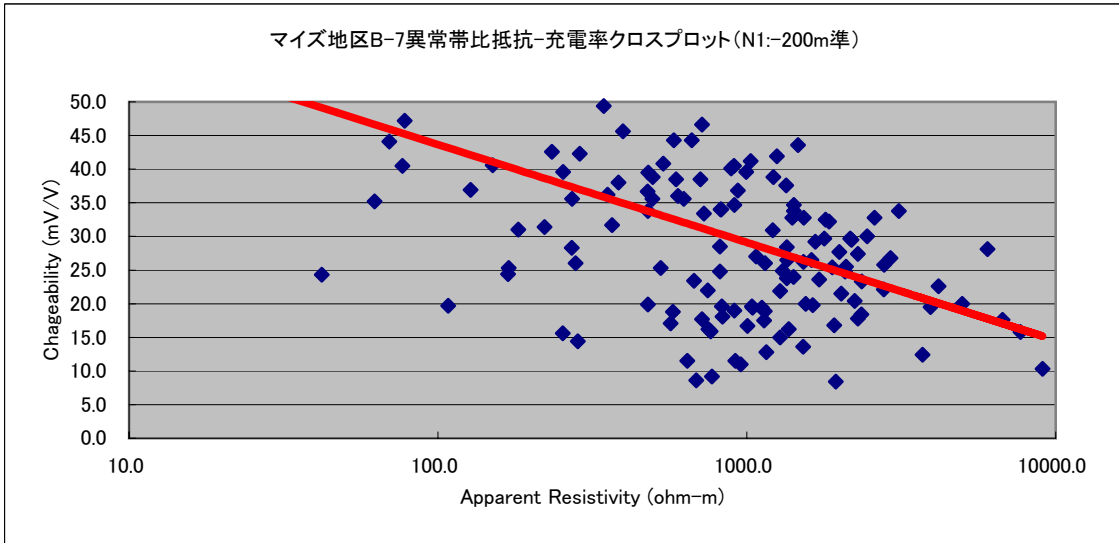


1 200 > ρ	15
2 400 > ρ ≥ 200	19
3 600 > ρ ≥ 400	11
4 800 > ρ ≥ 600	18
5 1000 > ρ ≥ 800	13
6 2000 > ρ ≥ 1000	49
7 4000 > ρ ≥ 2000	25
8 6000 > ρ ≥ 4000	2
9 8000 > ρ ≥ 6000	1
10 10000 > ρ ≥ 8000	0
11 ρ ≥ 10000	0
合計	153

1 10 > M	6
2 15 > M ≥ 10	17
3 20 > M ≥ 15	15
4 25 > M ≥ 20	29
5 30 > M ≥ 25	24
6 35 > M ≥ 30	15
7 40 > M ≥ 35	18
8 45 > M ≥ 40	9
9 50 > M ≥ 45	4
10 M ≥ 50	16
合計	153

図II-2-22(2) マイズ地区B-7異常帯測定データの統計量(N2:-150m準)

N	比抵抗値				分極率			
	最大値	最小値	平均値	標準偏差	最大値	最小値	平均値	標準偏差
N3	9058	21	1264	1378.00	87	8	31	13.5

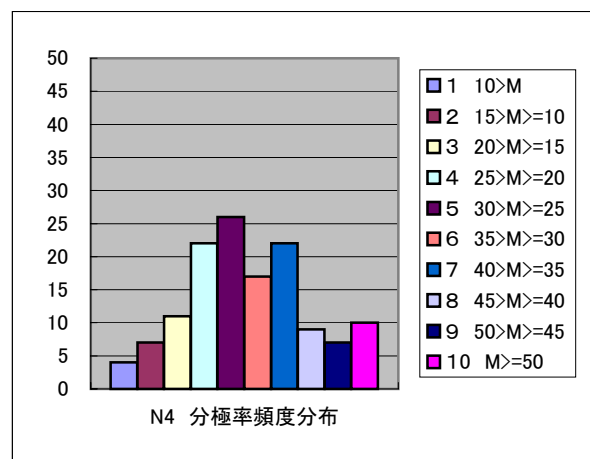
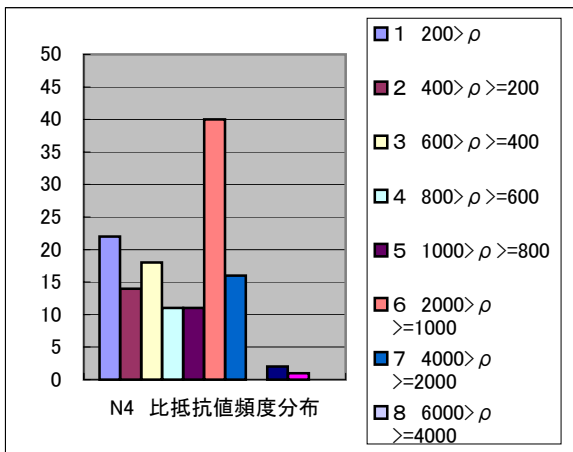
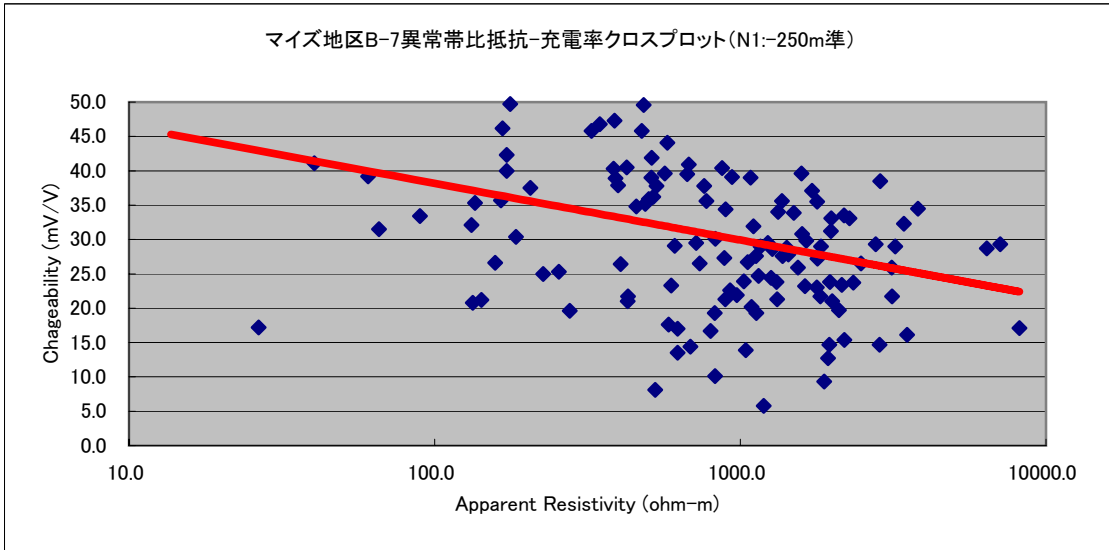


1	200 > ρ	15
2	400 > ρ ≥ 200	21
3	600 > ρ ≥ 400	15
4	800 > ρ ≥ 600	13
5	1000 > ρ ≥ 800	14
6	2000 > ρ ≥ 1000	42
7	4000 > ρ ≥ 2000	18
8	6000 > ρ ≥ 4000	2
9	8000 > ρ ≥ 6000	3
10	10000 > ρ ≥ 8000	1
11	ρ ≥ 10000	0
合計		144

1	10 > M	3
2	15 > M ≥ 10	8
3	20 > M ≥ 15	26
4	25 > M ≥ 20	18
5	30 > M ≥ 25	22
6	35 > M ≥ 30	18
7	40 > M ≥ 35	18
8	45 > M ≥ 40	13
9	50 > M ≥ 45	4
10	M ≥ 50	14
合計		144

図II-2-22(3) マイズ地区B-7異常帯測定データの統計量(N3:-200m準)

N	比抵抗値				分極率			
	最大値	最小値	平均値	標準偏差	最大値	最小値	平均値	標準偏差
N4	8180	14	1176	1257.03	96	0	31	13.7



1	200 > ρ	47
2	400 > ρ ≥ 200	44
3	600 > ρ ≥ 400	27
4	800 > ρ ≥ 600	20
5	1000 > ρ ≥ 800	23
6	2000 > ρ ≥ 1000	51
7	4000 > ρ ≥ 2000	30
8	6000 > ρ ≥ 4000	7
9	8000 > ρ ≥ 6000	1
10	10000 > ρ ≥ 8000	0
11	ρ ≥ 10000	0
合計		250

1	10 > M	36
2	15 > M ≥ 10	53
3	20 > M ≥ 15	36
4	25 > M ≥ 20	42
5	30 > M ≥ 25	43
6	35 > M ≥ 30	23
7	40 > M ≥ 35	13
8	45 > M ≥ 40	4
9	50 > M ≥ 45	0
10	M ≥ 50	0
合計		250

図II-2-22(4) マイズ地区B-7異常帯測定データの統計量(N4:-250m準)